

2018

Weekly / Semanal **Influenza Report EW 29/ Reporte de Influenza SE 29**

Regional Update: Influenza & Other Respiratory Viruses /
Actualización Regional: Influenza y Otros virus respiratorios



July 31, 2018
31 de Julio 2018

*Data as of July 22, 2018/
Datos hasta 22 de julio 2018*

FluID

Countries reporting to FluID
Países que reportan a FluID



FluNet

Countries Reporting to FluNet
Países que reportan a FluNet



Map Production / Producción del mapa: PAHO/WHO/OPS/OMS.

Data Source / Fuente de datos:

Ministries of Health and National Influenza Centers of Member States
Reports to the informatics global platforms FluNet and /
Informe de los Ministerios de Salud y los Centros Nacionales de
Influenza de los Estados Miembros a las plataformas informáticas
globales de FluNet y FluID

[Go to Index](#)/
[Ir al Índice](#)

WEEKLY REPORT DATA SOURCES

The information presented in this update is based on data provided by Ministries of Health and National Influenza Centers of Member States to the informatics global platforms
http://www.who.int/influenza/gisrs_laboratory/flunet/en/
and http://www.who.int/influenza/surveillance_monitoring/fluid/en/ ;
and reports/weekly bulletins that Ministries of Health published on its website or shared with PAHO/WHO.

La información presentada en esta actualización se obtiene a partir de los datos notificados por los Ministerios de Salud y los Centros Nacionales de Influenza de los Estados Miembros a las plataformas informáticas globales de la OPS/OMS: [FluNet](#) y [Fluid](#); y de los informes/boletines semanales que los Ministerios de Salud publican en sus páginas web o comparten con OPS/OMS.

PAHO INFLUENZA LINKS

PAHO interactive data / Datos interactivos de la OPS:

PAHO FluNet: http://ais.paho.org/php/viz/ed_flu.asp

PAHO Fluid: <http://ais.paho.org/php/viz/flumart2015.as>

Influenza Regional Reports / Informes regionales de influenza:

In English: <http://www.paho.org/influenzareport>

En español: www.paho.org/reportesinfluenza

Severe acute respiratory infections network - SARInet
Red de las infecciones respiratorias agudas graves - SARInet:

<http://www.sarinet.org>

[Go to Index/](#)
[Ir al Índice](#)

REPORT INDEX

ÍNDICE DE LA ACTUALIZACIÓN

Section	Content	Page
1	<u>Weekly Summary / Resumen Semanal</u>	5
2	<u>Overall Influenza and RSV circulation / Circulación general de los virus influenza y VSR</u>	6
3	<u>Weekly and Cumulative numbers / Números semanales y acumulados</u>	7
4	<u>Epidemiological and Virologic update by country / Actualización epidemiológica y virológica por país</u>	8
5	<u>Acronyms / Acrónimos</u>	31

WEEKLY SUMMARY (ENGLISH)

North America: Overall, influenza activity was at inter-seasonal levels in [Canada](#) and the [United States](#), with influenza B predominating. In [México](#), influenza and SARI activity increased with influenza A(H1N1)pdm09 and B co-circulating.

Caribbean: Influenza virus activity increased and low RSV activity was reported throughout most of the sub-region. In [Cuba](#), influenza activity continued elevated, while in [Jamaica](#), influenza activity decreased, with influenza A(H1N1)pdm09 and A(H3N2) co-circulating.

Central America: Epidemiological indicators remained at moderate levels and influenza and RSV circulation were reported to decrease throughout the sub-region. In [Guatemala](#), influenza activity decreased with influenza A(H1N1)pdm09 predominating, and SARI activity was similar to the previous season.

Andean Region: Overall influenza and other respiratory virus activity remained stable in the sub-region. SARI activity continued elevated in [Bolivia](#), with influenza B, A(H1N1)pdm09 and RSV co-circulating. In [Perú](#), influenza A(H1N1)pdm09 and SARI activity increased. In [Colombia](#), influenza A(H1N1)pdm09 activity remained elevated.

Brazil and Southern Cone: Influenza activity increased at the seasonal levels throughout most of the sub-region, with influenza A predominance. In [Brazil](#), influenza-associated SARI cases remained elevated from previous seasons, with influenza A(H1N1)pdm09 predominating. In [Paraguay](#), [Chile](#) and [Uruguay](#), SARI activity steadily increased related to RSV and influenza levels.

Global: In the temperate zones of southern hemisphere, influenza activity continued to increase in South America and may have peaked in Southern Africa. However, influenza activity remained below seasonal threshold in Australia and New Zealand. In the temperate zone of the northern hemisphere influenza activity returned to inter-seasonal levels. Increased influenza activity was reported in some countries of tropical America. Worldwide, seasonal influenza subtype A viruses accounted for the majority of detections.

RESUMEN SEMANAL (ESPAÑOL)

América del Norte: En general, la actividad de influenza se encontró a niveles inter-estacionales en [Canadá](#) y los [Estados Unidos](#), con predominio de influenza B. En [México](#), la actividad de influenza e IRAG aumentó con co-circulación de influenza A(H1N1)pdm09 y B.

Caribe: La actividad de influenza disminuyó y se reportó una actividad disminuida de VSR en la mayoría de la subregión. En [Cuba](#), la actividad de influenza continuó elevada, en tanto en [Jamaica](#), la actividad de influenza disminuyó, con co-circulación de influenza A(H1N1)pdm09 y A(H3N2).

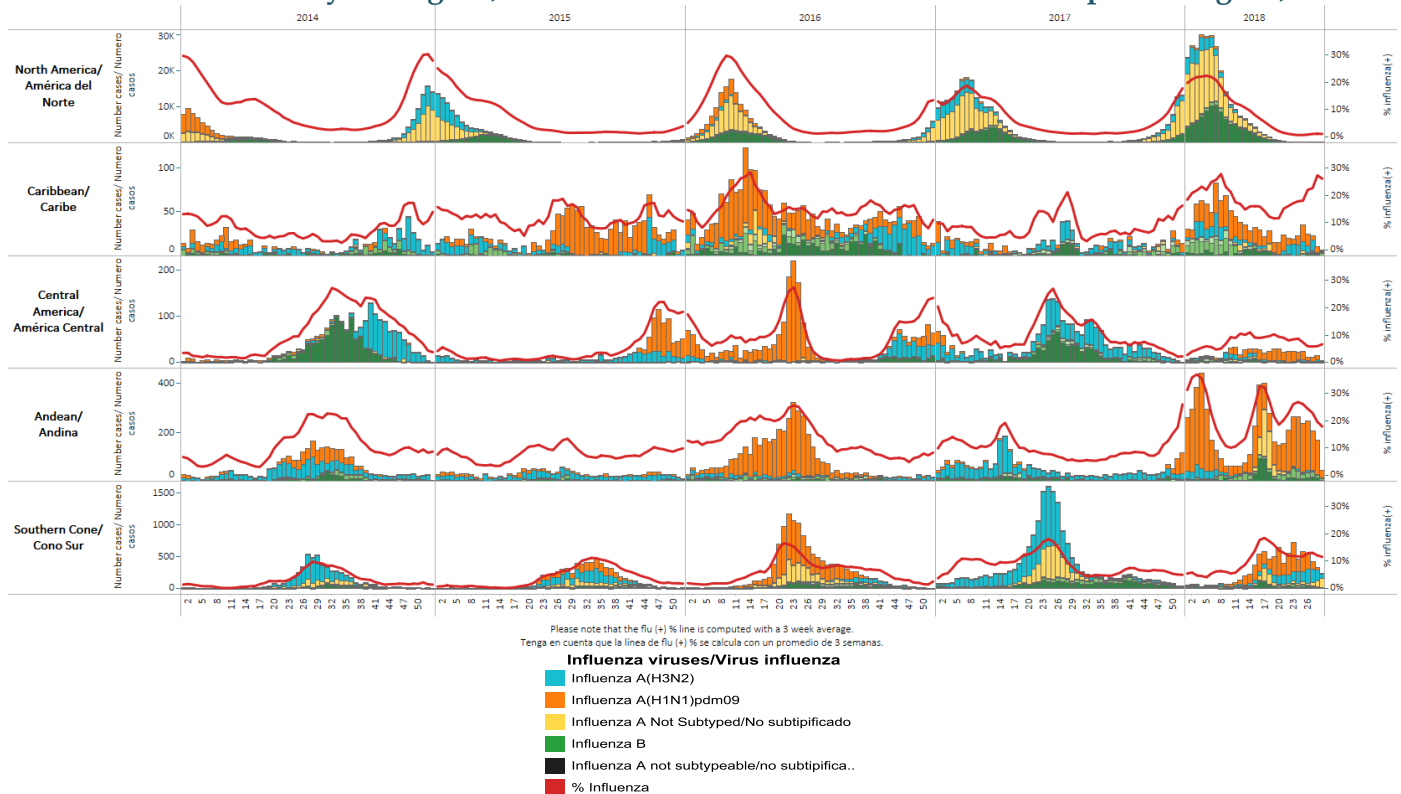
América Central: Los indicadores epidemiológicos permanecieron en niveles moderados y se informó que la circulación de influenza y VSR se encuentran en descenso en toda la sub-región. En [Guatemala](#), la actividad de influenza disminuyó con predominio de influenza A(H1N1)pdm09, y la actividad de IRAG fue similar a la temporada previa.

Sub-región Andina: La actividad general de influenza y otros virus respiratorios permaneció estable en la sub-región. La actividad de IRAG continuó elevada en [Bolivia](#), con co-circulación de influenza B, A(H1N1)pdm09 y VSR. En [Perú](#), la actividad de influenza A(H1N1)pdm09 e IRAG aumentó. En [Colombia](#), la actividad de influenza A(H1N1)pdm09 permaneció elevada.

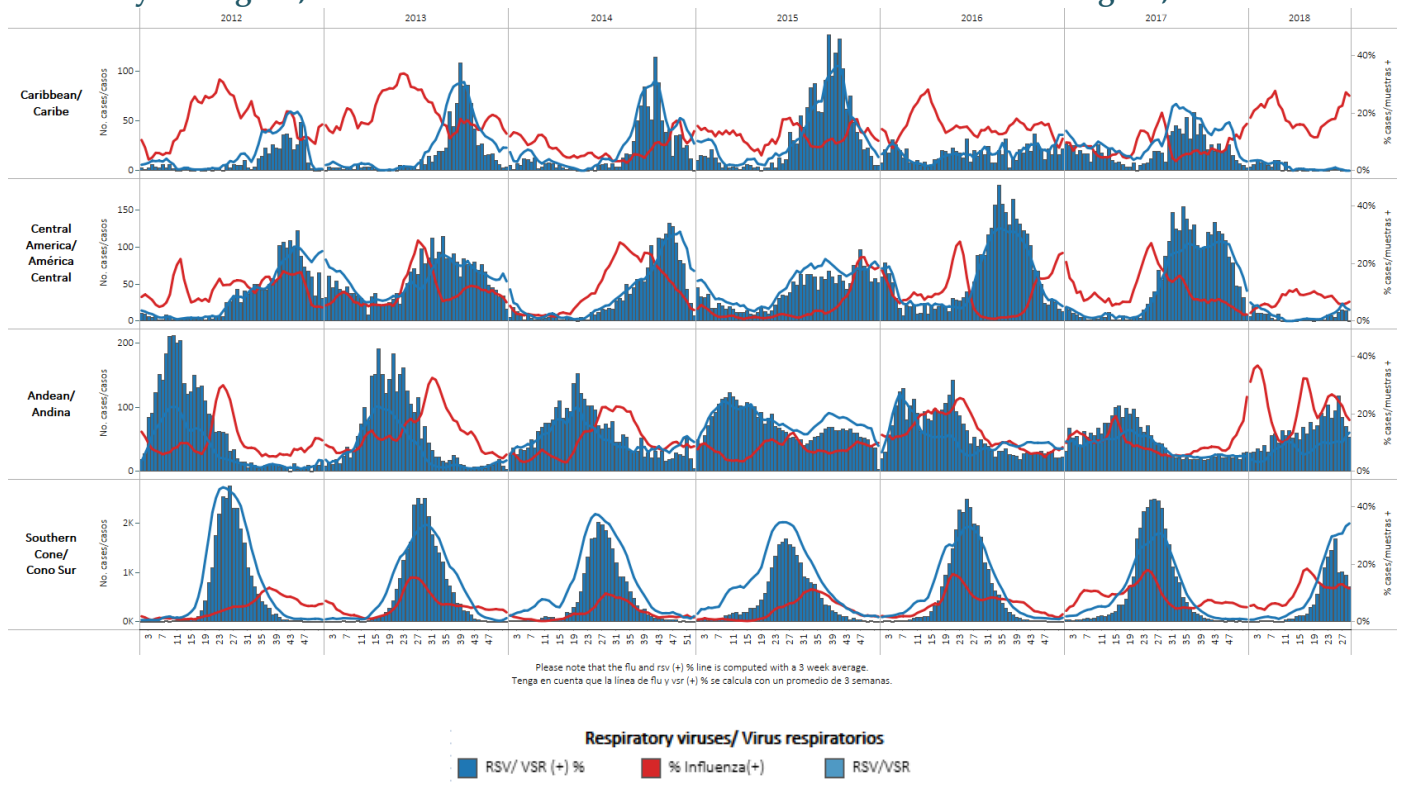
Brasil y Cono Sur: Los niveles de influenza aumentaron a niveles estacionales en toda la sub-región, con predominancia de influenza A. En [Brazil](#), los casos de IRAG asociados a influenza permanecieron elevados en relación a temporadas previas, con predominio de influenza A(H1N1)pdm09. En [Paraguay](#), [Chile](#) y [Uruguay](#), la actividad de IRAG aumentó en forma sostenida asociada a niveles de influenza y VSR.

Global: En las zonas templadas del hemisferio sur, la actividad de la influenza continuó aumentando en América del Sur y puede haber alcanzado su punto máximo en el sur de África. Sin embargo, la actividad de la influenza se mantuvo por debajo del umbral estacional en Australia y Nueva Zelanda. En la zona templada del hemisferio norte, la actividad de la influenza volvió a niveles interestacionales. Se informó una mayor actividad de influenza en algunos países de América tropical. En todo el mundo, los virus del subtipo A de la gripe estacional representaron la mayoría de las detecciones.

Influenza circulation by subregion, 2014-18



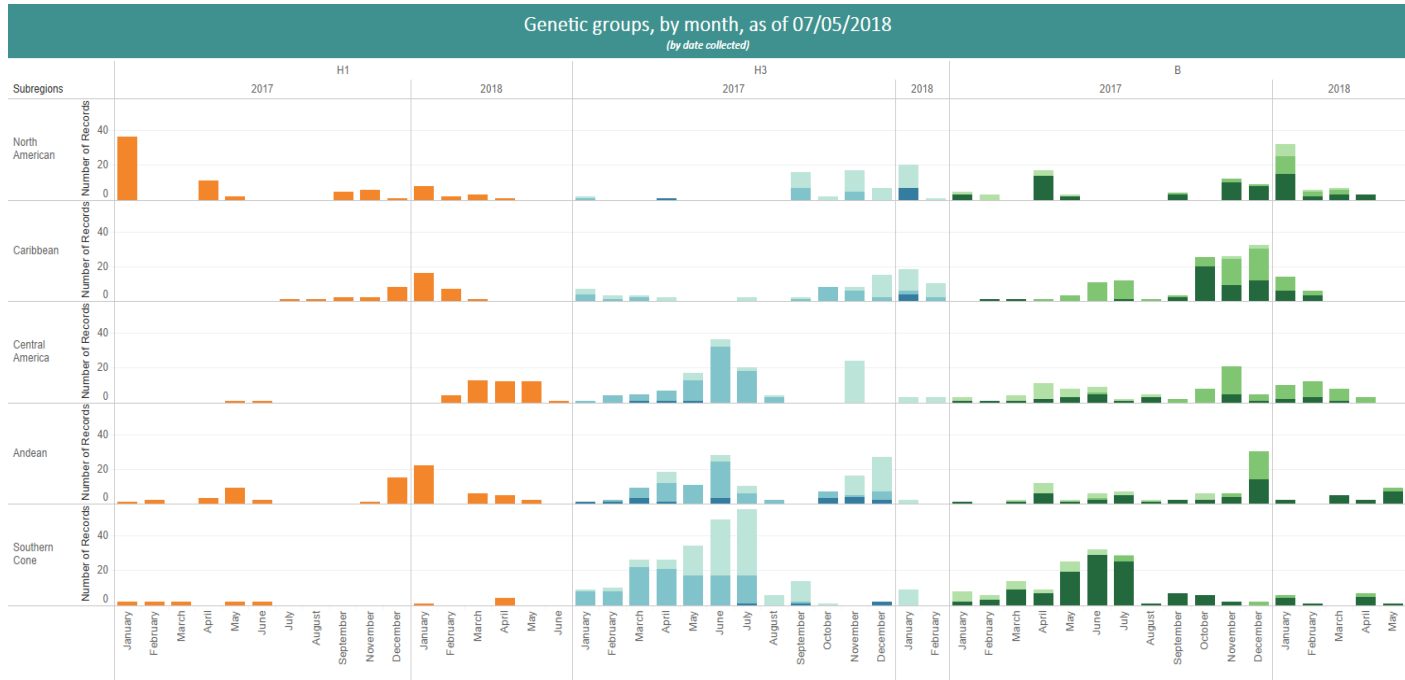
Respiratory syncytial virus (RSV) circulation by subregion, 2012-18



*To view more lab data, view [here](#). / Para ver mas datos lab, vea [aquí](#).

Genetic Characterization of Influenza Viruses Influenza by Subregion, 2017-18

Caracterización Genética de los Virus por Subregión, 2017-18



These data are from the WHO –Collaborating Center at the U.S. CDC.
Estos datos son recolectados desde el CC de la OMS en el CDC de EE. UU.

Genetic Group

3C.2a	3C.3a	V1A	Y3
3C.2a1	6B.1	V1A.1	

Weekly and cumulative numbers of influenza and other respiratory virus, by country and EW, 2018¹ Números semanales y acumulados de influenza y otros virus respiratorios, por país y SE, 2018²

EW 29, 2018 / SE 29, 2018

		N samples/muestras	Influenza (H3N2)*	Influenza A(H1N1)pdmo9*	Influenza A non-subtyped*	Influenza B Victoria*	Influenza B Yamagata*	Influenza B lineage undetermined*	Influenza (+) %	Adenovirus*	Parainfluenza*	RSV/VSR	% RSV/VSR (+)	Bocavirus*	Coronavirus*	Metapneumovirus*	Rinovirus*	% All Positive Samples (+)
North America/ América del Norte	Canada	8,626	1	2	5	0	0	0	0.1%	26	80	7	0%	0	5	8	147	3.3%
	Mexico	196	1	60	0	0	2	3	35.2%	0	0	0	0%	0	0	0	2	36.2%
	USA	5,377	0	4	48	1	0	16	1.3%	0	0	0	0%	0	0	0	0	1.3%
Caribbean/ Caribe	Jamaica	3	0	0	0	0	0	0	0.0%	0	0	0	0%	0	0	0	0	0.0%
	Suriname	2	0	0	0	0	0	0	0.0%	0	0	0	0%	0	0	0	0	0.0%
Central America/ América Central	Costa Rica	41	0	2	0	0	0	0	4.9%	1	3	0	0%	0	0	0	0	14.6%
	El Salvador	38	0	0	1	0	1	0	5.3%	0	0	0	0%	0	0	0	0	5.3%
	Nicaragua	12	0	0	0	0	0	0	0.0%	0	3	0	0	0	0	0	0	25.0%
Andean/ Andina	Bolivia	121	2	11	0	0	10	0	19.0%	0	1	39	32%	0	0	0	0	52.1%
	Colombia	149	0	16	0	0	0	2	12.1%	3	8	15	10%	3	2	1	1	34.2%
	Ecuador	12	0	1	0	0	0	0	8.3%	1	1	0	0%	0	0	0	0	25.0%
Brazil & Southern Cone/ Brasil y Cono Sur	Chile	1,912	56	2	139	0	3	14	11.2%	40	63	669	35%	0	0	59	0	54.7%
	Chile_IRAG	125	11	0	7	0	0	0	14.4%	4	1	46	37%	1	0	2	2	59.2%
	Uruguay	36	0	3	0	0	1	0	11.1%	0	0	0	0%	0	0	1	0	13.9%
	Uruguay IRAG	25	0	1	0	0	1	0	8.0%	0	0	0	0	0	0	1	0	12.0%
	Grand Total	16,675	71	102	200	1	18	35	2.6%	75	160	776	5%	4	7	72	152	10.0%

These are the raw numbers provided in the country's FluNet update (Not the smoothed averages)

Estos son los números crudos proporcionados en la actualización FluNet del país (no los promedios suavizados)

*Please note blank cells indicate N/A.

*Por favor notar que las celdas en blanco indican N/A.

EW 28, 2018 / SE 28, 2018

*Note: These countries reported in EW 29, 2018, but have provided data up to EW 28.

*Nota: Estos países reportaron en la SE 29, 2018, pero han enviado los datos hasta la SE 28.

		N samples/muestras	Influenza A(H3N2)	Influenza A(H1N1) pdmo9	Influenza A No subtipificado	Total Influenza B	Influenza (+) %	Adenovirus	RSV/VSR	% RSV/VSR (+)	Bocavirus*	Coronavirus..	Metapneu..	Rinovirus*	Parainfluen..	% All Positive Samples (+)
Central America/ América Central	Guatemala	31	3	9	0	0	38.7%	2	9	29%	0	0	1	0	1	80.6%
	Honduras	9	0	0	0	0	0.0%	0	0	0%	0	0	0	0	0	0.0%
Andean/ Andina	Peru	289	0	79	0	11	31.1%	0	11	4%	0	0	0	0	3	36.0%
Brazil & Southern Cone/ Brasil y Cono Sur	Paraguay	76	7	0	0	4	14.5%	3	17	22%	0	0	8	0	0	51.3%
	Paraguay IRAG	64	6	0	1	1	12.5%	2	25	39%	0	0	8	0	0	67.2%
	Grand Total	469	16	88	1	16	25.8%	7	62	13%	0	0	17	0	4	45.0%

EW 26-29, 2018 / SE 26--29,2018

		N samples/muestras	Influenza A(H3N2)*	Influenza A(H1N1)pdmo9*	Influenza A non-subtyped*	Influenza B Victoria*	Influenza B Yamagata*	Influenza B lineage undetermined*	Influenza (+) %	Adenovirus*	Parainfluenza*	RSV/VSR	% RSV/VSR (+)	Bocavirus*	Coronavirus*	Metapneumovirus*	Rinovirus*	% All Positive Samples (+)
North America/ América del Norte	Canada	37,516	12	7	14	0	0	8	0.1%	118	390	46	0.1%	0	16	60	805	3.9%
	Mexico	1,220	7	345	0	2	9	17	32.0%	1	2	0	0.0%	0	0	2	8	33.0%
	USA	25,111	13	15	190	2	2	82	1.2%	0	0	0	0	0	0	0	0	1.2%
Caribbean/ Caribe	Aruba	2	0	2	0	0	0	0	100.0%	0	0	0	0	0	0	0	0	100.0%
	Cuba	101	8	0	2	1	2	2	30.7%	0	2	0	0.0%	0	4	0	11	50.5%
	Cuba IRAG	66	7	0	1	1	1	2	27.3%	0	0	0	0.0%	0	2	0	6	43.9%
	Dominican Republic	46	0	6	0	0	3	0	19.6%	0	0	0	0	0	0	0	0	19.6%
	French Guiana	11	4	1	0	0	0	0	45.5%	0	0	0	0	0	0	0	0	45.5%
	Haiti	72	0	9	0	0	0	0	12.5%	0	0	0	0.0%	0	0	0	0	12.5%
	Jamaica	65	0	5	0	0	1	0	9.2%	0	0	1	1.5%	0	0	0	0	10.8%
	Suriname	21	0	0	0	0	1	0	4.8%	0	0	1	4.8%	0	0	0	0	9.5%
	Trinidad and Tobago	1	0	0	0	0	0	0	0.0%	0	1	0	0	0	0	0	0	100.0%
Central America/ América Central	Costa Rica	174	0	3	0	0	0	2	2.9%	9	9	0	0.0%	0	0	0	0	13.2%
	El Salvador	155	0	3	2	0	3	0	5.2%	1	8	0	0.0%	0	0	0	0	11.0%
	Guatemala	97	5	17	0	0	0	0	22.7%	2	7	20	20.6%	0	0	1	0	53.6%
	Honduras	63	0	4	0	0	1	0	7.9%	1	1	0	0.0%	0	0	0	0	11.1%
	Nicaragua	185	0	1	0	0	0	0	0.5%	0	13	0	0	0	0	0	0	7.6%
	Panama	128	2	0	0	0	0	0	1.6%	8	21	21	16.4%	0	0	3	38	72.7%
Andean/ Andina	Bolivia	590	10	47	2	1	44	1	17.8%	2	1	164	27.6%	0	0	0	0	46.1%
	Colombia	1,079	3	191	0	0	0	10	18.9%	20	44	86	8.2%	14	19	11	7	38.1%
	Ecuador	135	0	1	0	0	0	9	7.4%	2	5	1	0.7%	0	0	0	0	13.3%
Brazil & Southern Cone/ Brasil y Cono Sur	Bolivia	469	8	36	2	1	34	1	17.5%	2	0	125	26.7%	0	0	0	0	44.6%
	Brazil	1,352	94	299	0	0	0	7	29.6%	4	4	17	1.3%	0	0	5	4	32.1%
	Chile	8,030	446	44	264	9	31	24	10.2%	169	303	2,887	36.0%	0	0	169	0	54.1%
	Chile_IRAG	754	63	2	40	0	3	4	14.9%	11	17	303	40.2%	5	9	23	21	66.4%
	Paraguay	493	35	7	0	0	0	22	13.0%	21	0	148	30.0%	0	0	46	0	56.6%
	Paraguay IRAG	467	22	3	1	0	0	14	8.6%	17	1	178	38.1%	0	0	44	0	60.0%
	Uruguay	177	1	4	0	0	1	0	3.4%	0	0	10	5.6%	0	0	1	0	9.6%
	Uruguay IRAG	131	1	1	0	0	1	0	2.3%	0	0	9	6.9%	0	0	1	0	9.9%
	Grand Total	79,722	743	1,342	518	18	160	211	3.8%	389	842	4,090	5.1%	19	50	367	900	12.2%

Total Influenza B, EW 25-29, 2018

	Total Influenza B	B Victoria	B Yamagata	B linaje no determinado	% B Victoria	% B Yamagata
North America/ América del Norte	174	6	15	159	29%	71%
Caribbean/ Caribe	17	3	10	4	23%	77%
Central America/ América Central	8	1	4	3	20%	80%
Andean/ Andina	145	4	86	55	4%	96%
Brazil & Southern Cone/ Brasil y Cono Sur	217	15	97	105	13%	87%
Grand Total	561	29	212	320	12%	88%

1 The detection of respiratory viruses other than influenza depends on the diagnostic capacity of each country and monitoring system. The absence of report of other respiratory viruses does not indicate the absence of their circulation.

2 La detección de otros virus respiratorios diferentes a influenza depende de la capacidad diagnóstica de cada país y del sistema de vigilancia establecido. El que no se reporten otros virus respiratorios, no significa, ni indica la ausencia de circulación viral.

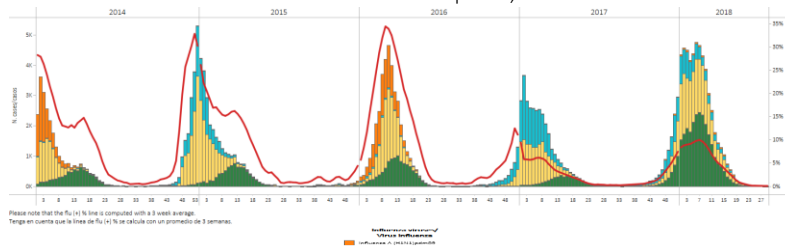
North America / América del Norte

Canada / Canadá

- In EW 29, ILI activity at the national level decreased at the 5-year average (Graph 2). Most of the provinces and territories reported no ILI activity. Influenza detections continued to trend downward (Graph 1); and influenza B viruses predominated among the influenza detections. RSV positivity steadily decreased in recent weeks. The number of pediatric influenza-associated hospitalizations trended downward (Graph 3). / En la SE 29, la actividad de ETI a nivel nacional disminuyó similar al promedio de 5 años (Gráfico 2). La mayoría de los territorios y provincias no reportaron actividad de ETI. Las detecciones de influenza continuaron en descenso (Gráfico 1); y los virus influenza B predominaron entre las detecciones de influenza. La positividad de VSR disminuyó en forma sostenida en semanas recientes. El número de hospitalizaciones pediátricas asociadas a influenza disminuyó (Gráfico 3).

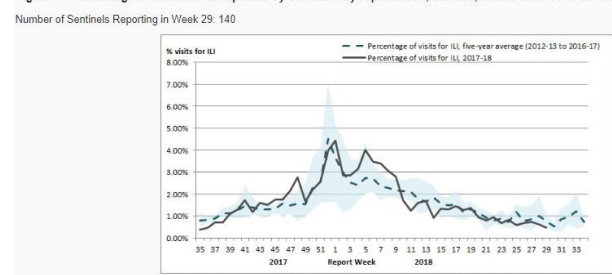
Graph 1. Canada: Influenza virus distribution by EW, 2014-18, EW 29/

Distribución de virus de influenza por SE, 2014-18. SE 29



Graph 2. Canada: Percentage of ILI visits by sentinel sites, EW 35 2017 – EW 29, 2018 /

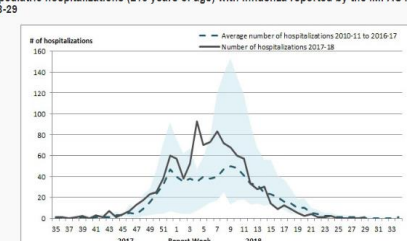
Porcentaje de casos de ETI por sitio centinela , SE 35 2017 – SE 29, 2018.
Figure 4 - Percentage of visits for ILI reported by sentinels by report week, Canada, weeks 2017-35 to 2018-29



Graph 3. Canada: Number of influenza pediatric hospitalizations (<16 years of age) by EW, 2017-2018, EW 35, 2017 – EW 29, 2018.

Recuento de hospitalizaciones pediátricas por influenza, por SE, 2017-2018, SE 35, 2017 – SE 29, 2018.

Figure 8 – Number of pediatric hospitalizations (\$16 years of age) with influenza reported by the IMPACT network, by week, Canada, weeks 2017-35 to 2018-29



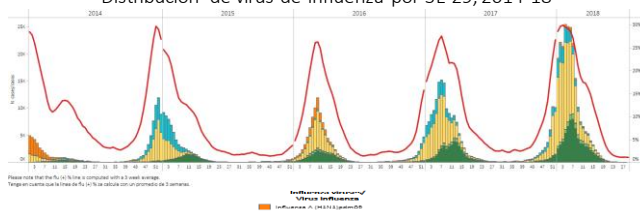
*To view more epi data, view [here](#). / Para ver mas datos epi, vea [aquí](#).

United States / Estados Unidos

- In EW 29, ILI activity at the national level continued to trend downward (Graph 4). Influenza and RSV detections continued to trend downward (Graph 1,2); and influenza A(non-subtyped) viruses predominated among the influenza detections. The proportion of pneumonia and influenza deaths among all deaths was below the epidemic threshold (Graph 3). / En la SE 29, la actividad de ETI a nivel nacional continuó con tendencia descendente (Gráfico 4). Las detecciones de influenza y VSR continuaron en descenso (Gráfico 1, 2); y los virus influenza A (No subtipificado) predominaron entre las detecciones de influenza. La proporción de fallecidos por neumonía e influenza del total de fallecidos se ubicó bajo el umbral epidémico (Gráfico 3).
- In EW 26, one human infection with influenza A(H3N2)virus A virus was reported by Indiana. This person had indirect exposure to swine at an agricultural fair during the week preceding illness onset. The patient was a child < 18 years of age, was not hospitalized, and has fully recovered from their illness. No human-to-human transmission was identified. This is the first A(H3N2)v virus infection detected in the United States in 2018. / En la SE 26, una infección humana con virus influenza A H3N2)v virus se reportó desde Indiana. Esta persona tenía exposición indirecta a porcinos en un evento agrícola durante la semana anterior al inicio de síntomas. El paciente era un niño de 18 años de edad, no se

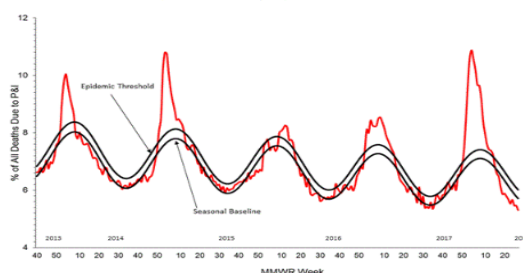
hospitalizó, y presentó recuperación completa. No se ha identificado transmisión de humano a humano. Fue el primer caso de influenza A(H3N2)v en los Estados Unidos en 2018.

Graph 1. US: Influenza virus distribution by EW 29, 2014-18
Distribución de virus de influenza por SE 29, 2014-18



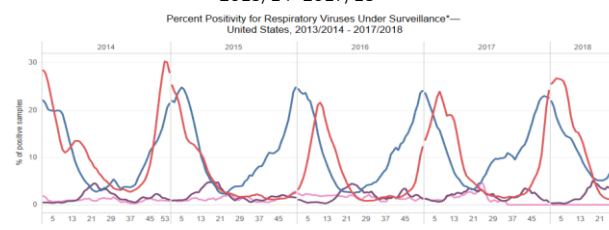
Graph 3. US: Pneumonia and influenza mortality. EW 27, 2018
Mortalidad por neumonía e influenza. SE 27, 2018

Pneumonia and Influenza Mortality from the National Center for Health Statistics Mortality Surveillance System Data through the week ending July 7, 2018, as of July 26, 2018



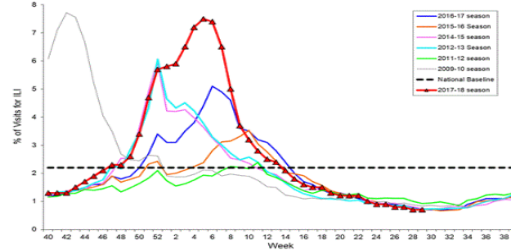
Graph 2. US: Percent positivity for respiratory virus EW 28
Porcentaje de positividad para virus respiratorios, por SE 28,

2013/14- 2017/18



Graph 4. US: Percentage of visits for ILI, 2017-2018. EW 29.
Porcentaje de visitas por ETI, 2017-2018. SE 29.

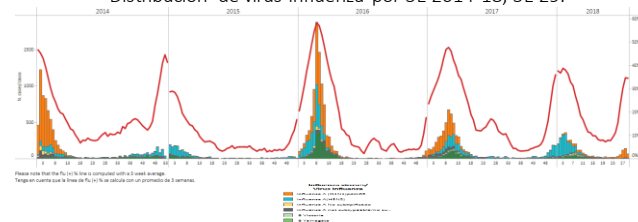
Percentage of Visits for Influenza-like Illness (ILI) Reported by the U.S. Outpatient Influenza-like Illness Surveillance Network (ILINet), Weekly National Summary, 2017-2018 and Selected Previous Seasons



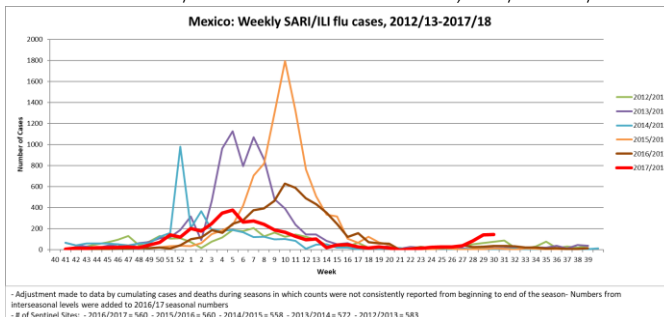
Mexico / México

- During EW 29, influenza activity continued to increase above the alert threshold, with influenza A(H1N1)pdm09 and both lineages of influenza B predominating; and there were no RSV detections (Graph 1). Influenza-associated SAR/ILI counts were above what was observed during most other seasons (Graph 2) and the influenza-associated SARI/ILI deaths were slightly above levels from previous seasons for the same period (Graph 3). In EW 30, 10 states reported higher influenza-associated SAR/ILI counts than the historic average: Baja California, Campeche, Colima, Durango, Guanajuato, Guerrero, Jalisco, Quintana Roo, Sinaloa, and Yucatan (Graph 4). In EW 30, 3 states reported higher influenza-associated SARI/ILI deaths counts than the historic average: Guerrero, Tlaxcala, and Yucatan (Graph 5). / Durante la SE 29, la actividad de influenza continuó en aumento sobre el umbral de alerta, con predominio de influenza A(H1N1)pdm09 y ambos linajes de influenza B; y no se reportaron detecciones de VSR (Gráfico 1). Los recuentos de IRAG/ETI asociados a influenza se ubicaron por encima de lo observado durante la mayoría de las restantes temporadas (Gráfico 2) y los casos fallecidos de IRAG/ETI asociados a influenza aumentaron ligeramente de las previas temporadas para el mismo período (Gráfico 3). En la SE 30, 10 estados reportaron mayores recuentos de IRAG/ETI asociados a influenza en comparación con el promedio histórico: Baja California, Campeche, Colima, Durango, Guanajuato, Guerrero, Jalisco, Quintana Roo, Sinaloa, y Yucatan (Graph 4). En la SE 30, 3 estados reportaron mayor recuento de fallecidos por IRAG/ETI asociados a influenza en comparación con el promedio histórico: Quintana Roo, Tlaxcala, y Yucatan (Graph 5).

Graph 1. Mexico: Influenza virus distribution by EW 2014-18, EW 29.
Distribución de virus influenza por SE 2014-18, SE 29.

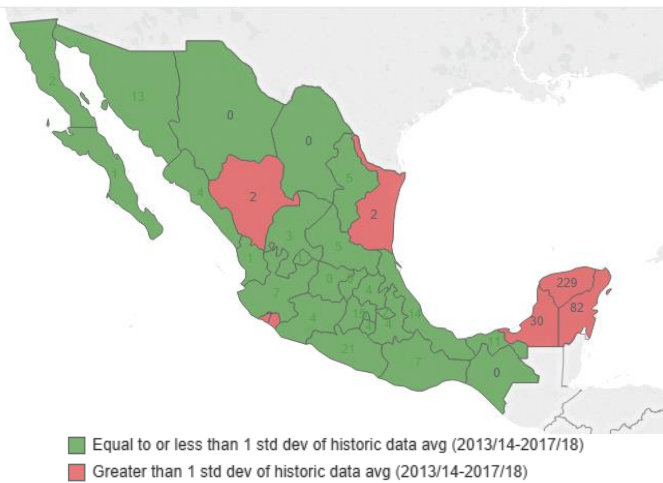


Graph 2. Mexico: SARI/ILI-flu cases EW 29, 2012/13-2017/18
Casos de IRAG/ETI asociados a influenza SE 29, 2012/13-2017/18



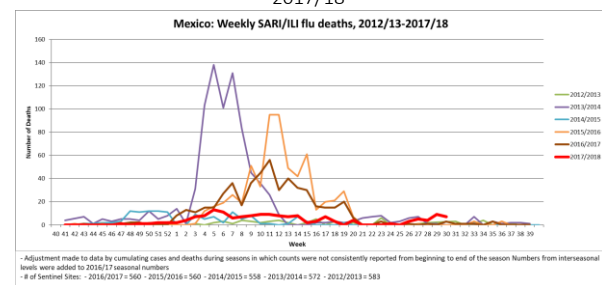
Graph 4. Mexico: Cumulative SARI/ILI flu cases greater than historic average, EW 21-30 (2013/14- 2017/18)
Casos acumulados de IRAG/ETI asociados a influenza mayor del promedio histórico, SE 21-30 (2013/14- 2017/18)

Mexico SARI Flu Cases, as of EW 21-30, 2018
Count of cases greater than 1 SD above historic average
(2013/14-2017/18)



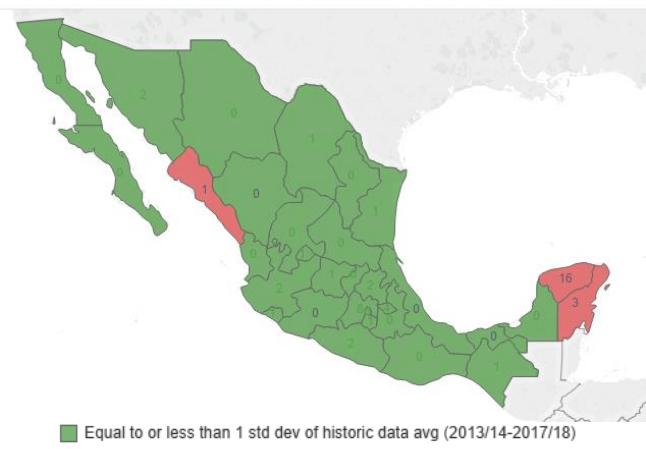
*To view more epi data, view [here](#). / Para ver mas datos epi, vea [aquí](#).

Graph 3. Mexico: SARI/ILI-flu deaths EW 29, 2012/13- 2017/18
Casos fallecidos por IRAG/ETI asociados a Influenza SE 29, 2012/13- 2017/18



Graph 5. Mexico: Cumulative SARI/ILI flu deaths greater than historic average, EW 21-30 (2013/14- 2017/18)
Fallecidos acumulados de IRAG/ETI asociados a influenza mayor del promedio histórico, SE 21-30 (2013/14- 2017/18)

Mexico SARI Flu Deaths, as of EW 21-30, 2018
Count of cases greater than 1 SD above historic average
(2013/14-2017/18)

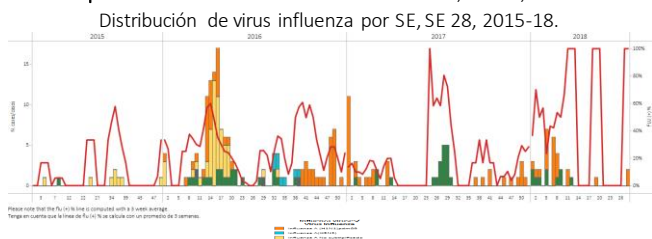


Caribbean / Caribe

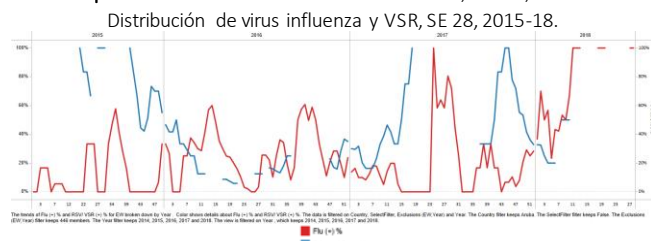
Aruba

- During EW 28, 2 influenza detections were reported as influenza A(H1N1)pdm09 (Graph 1). The proportion of influenza positive samples increased, and no RSV detections were reported (Graph 2). / Durante la SE 28, se reportaron 2 detecciones de influenzaA(H1N1)pdm09 (Gráfico 1). La proporción de muestras positivas para influenza aumentó, así como para VRS (Gráfico 2).

Graph 1. Aruba. Influenza virus distribution EW, EW 28, 2015-18.



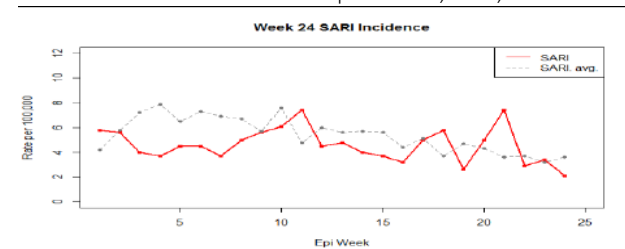
Graph 2. Aruba. Influenza and RSV distribution, EW 28, 2015-18



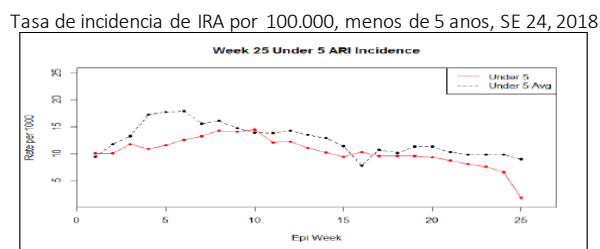
Belize/ Belice

- During EW 24, slightly decreased SARI activity was reported (Graph 1), as compared to the previous five seasons average. The ARI incidence rate among <5 years of age children was lower than the previous seasons for the same period (Graph 2). / Durante la SE 24, se reportó ligero descenso en la actividad de IRAG (Gráfico 1), en comparación con el promedio de las cinco temporadas previas. La incidencia de IRA entre los niños <5 años fue menor que en las temporadas previas para el mismo período (Gráfico 2).

Graph 1. Belize: SARI incidence rate per 100,000, EW 24, 2018
Tasa de incidencia de IRAG por 100.000, SE 24, 2018



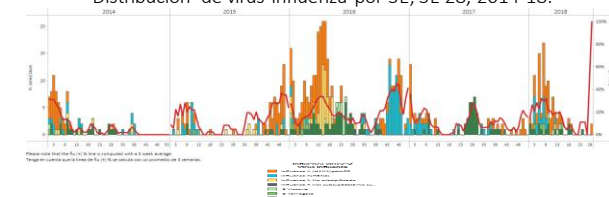
Graph 2. Belize: ARI incidence rate per 100,000, under 5 yrs, EW 24, 2018



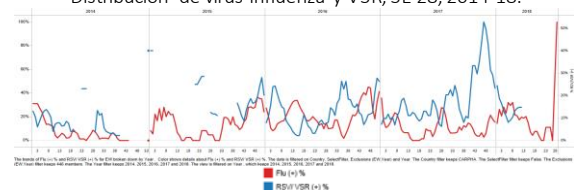
CARPHA (Aruba & Trinidad & Tobago)

- During EW 28, 2 influenza detections were reported with influenza A(H1N1)pdm09 (Graph 1). The proportion of influenza positive samples increased, while proportion of RSV remained at 0% (Graph 2). Countries that reported in last 2 weeks, EW 27 and 28, include Aruba and Trinidad and Tobago (Graph 3). / Durante la SE 28, se reportaron 2 detecciones de influenzaA(H1N1)pdm09 (Gráfico 1). La proporción de muestras positivas para influenza aumentó, mientras que las de VRS se mantuvieron en 0% (Gráfico 2). Países que se reportaron en las 2 semanas previas, SE 27 y 28, incluyen Aruba y Trinidad y Tobago.

Graph 1. CARPHA. Influenza virus distribution EW, EW 28, 2014-18.
Distribución de virus influenza por SE, SE 28, 2014-18.



Graph 2. CARPHA. Influenza and RSV distribution, EW 28, 2014-18
Distribución de virus influenza y VSR, SE 28, 2014-18.



Graph 3. Países de CARPHA: Datos reportados entre la SE 20-23
CARPHA Countries: Data reported between EW 24-28

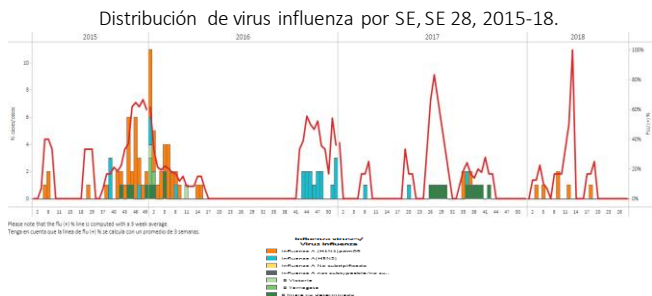
	N samples/ muestras	Influenza A(I3N2)	Influenza A (H1N1) pdm09	Influenza A No subtipificado	Total Influenza	Influenza (+) %	Adenovirus	RSV/VSR (+)	% RSV/VSR (+)	Bocavirus*	Coronaviru... s	Metapneu... r	Rinovirus*	Parainfluen... s	% All Positive Samples (+)
Aruba	2	2		0	100.0%			0	0	0	0	0	0	0	100.0%
Trinidad and Tobago	4		2	0	0.0%			0	0	0	0	2	50.0%		
Grand Total	6	2	2	0	33.3%			0	0	0	0	2	66.7%		

*To view more epi data, view [here](#). / Para ver mas datos epi, vea [aquí](#).

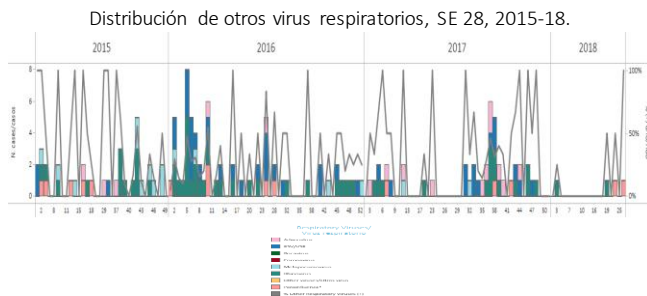
Trinidad and Tobago

- During EW 26, no influenza detections were reported with influenza A(H1N1)pdm09 in recent weeks (Graph 1). The proportion of influenza positive samples continued at 0%, and no RSV detections were reported during the same period, however Adenovirus cases were detected (Graph 2) . / Durante la SE 26, no se reportaron detecciones de influenza, con circulación de influenza A(H1N1)pdm09 en semanas previas (Gráfico 1). La proporción de muestras positivas para influenza se ha mantenido en 0%, y no se reportaron detecciones de VSR durante el mismo período, sin embargo se han detectado casos de Adenovirus (Gráfico 2).

Graph 1. Trinidad & Tobago. Influenza virus distribution EW, EW 28, 2015-18.



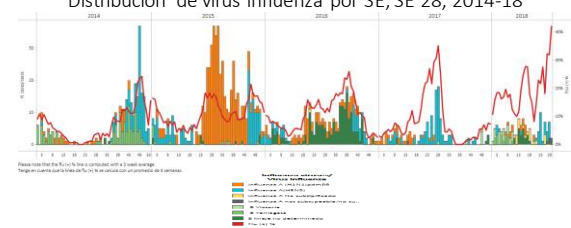
Graph 2. Trinidad & Tobago. Other respiratory virus distribution, EW 28, 2015-18.



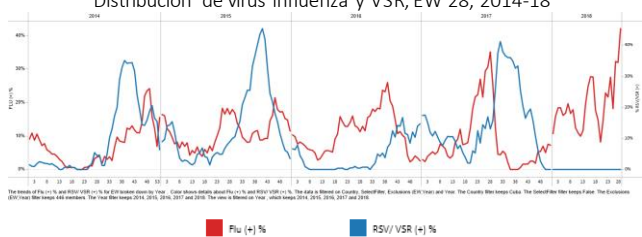
Cuba

- During EW 28, increased influenza detections were reported, with influenza A(H3N2) predominating in previous weeks (Graph 1); while there were no RSV detections (Graph 2). The number of SARI cases decreased and were lower than in the 2014-2017 seasons for the same period (Graph 3), and were among the <5-years-old population, with influenza A(H3N2) predominating. / Durante la SE 28, se reportaron mayores detecciones de influenza, con predominio de influenza A(H3N2) en las semanas previas en tanto no se reportaron detecciones de VSR (Gráfico 2). Los casos de IRAG disminuyeron y estuvieron por debajo de los niveles de las temporadas 2014-2017 para el mismo período (Gráfico 3), y fueron entre la población de <5 años de edad con predominio de influenza A(H3N2).

Graph 1. Cuba: Influenza virus distribution by EW, EW 28, 2014-18

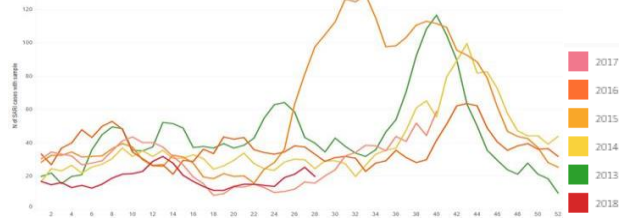


Graph 2. Cuba Influenza and RSV distribution, EW 28, 2014-18



Graph 3. Cuba: Number of SARI cases with samples by EW, EW 27, 2014-18

Número de casos IRAG con muestra por SE, SE 27, 2014-18



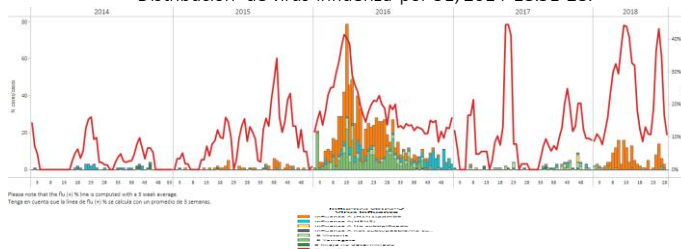
*To view more epi data, view [here](#). / Para ver mas datos epi, vea [aquí](#).

Dominican Republic / República Dominicana

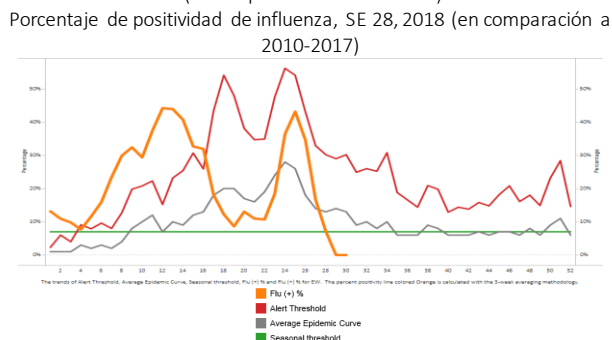
- During EW 28, no influenza detections were reported, and influenza A(H1N1)pdm09 predominated in previous weeks (Graph 1); RSV data were not reported this week (Graph 2). Influenza positivity was below the alert threshold (Graph 3). During EW 21, the number of SARI cases slightly increased from previous weeks (Graph 4), with a low percentage of influenza positive samples. The SARI and influenza-associated SARI cases predominated among the <5 years old. / Durante la SE 28, no se han reportado detecciones de influenza, en las semanas previas el virus predominante fue A(H1N1)pdm09 (Gráfico 1); no se reportó actividad de VSR durante esta semana (Gráfico 2). La actividad de influenza se ubicó por debajo

del umbral de alerta y del umbral epidémico(Gráfico 3). Durante la SE 21, el número de casos de IRAG aumentó ligeramente en relación a semanas previas (Gráfico 4), con un bajo porcentaje de muestras positivas para influenza. Los casos de IRAG y los casos de IRAG asociados a influenza predominaron en los <5 años.

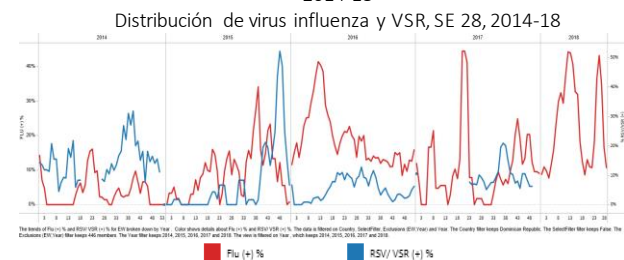
Graph 1. Dominican Republic: Influenza virus distribution EW, 2014-18. EW 28.
Distribución de virus influenza por SE, 2014-18. SE 28.



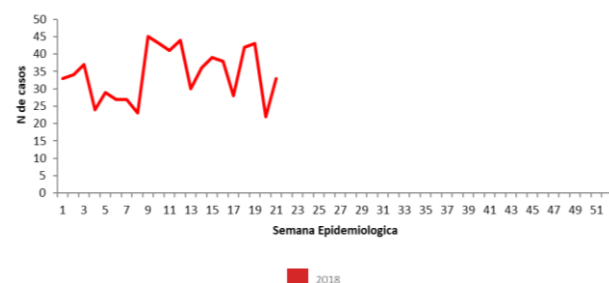
Graph 3. Dominican Republic: Percent positivity for influenza, EW 28, 2018
(in comparision to 2010-2017)



Graph 2. Dominican Republic Influenza and RSV distribution, EW 28, 2014-18
Distribución de virus influenza y VSR, SE 28, 2014-18



Graph 4. Dominican Republic: Percent of SARI cases out of total hospitalizations, by EW, EW 21, 2018
Porcentaje de casos de todos IRAG por EW, EW 21, 2018

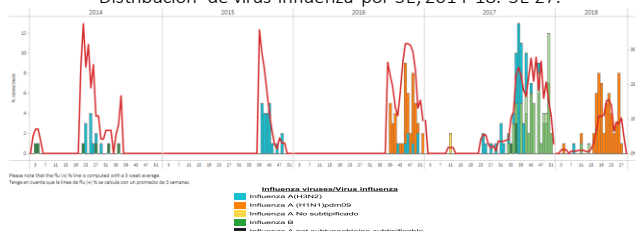


*To view more epi data, view [here](#). / Para ver mas datos epi, vea [aquí](#).

Haiti

- During EW 27, no influenza cases were reported, but influenza A(H1N1)pdm09 predominated in previous weeks (Graph 1). As of EW 29, the number of SARI hospitalizations decreased, as compared to previous weeks; and was lower than the levels observed in 2017 for the same period (Graph 2). Most of the cases were among the <5 years old infants (Graph 3). / Durante la SE 27, no se reportaron casos de influenza, pero influenza A(H1N1)pdm09 predominó en semanas previas (Gráfico 1). Hasta la SE 29, el número de hospitalizaciones por IRAG ha disminuido, siendo menor a los niveles observados en 2017 para el mismo período (Gráfico 2).

Graph 1. Haiti: Influenza virus distribution EW, 2014-18. EW 27.
Distribución de virus influenza por SE, 2014-18. SE 27.



Graph 2. Haiti: Number of SARI cases, EW 29, 2017-2018. /
Número de casos IRAG, SE 29, 2017-2018.



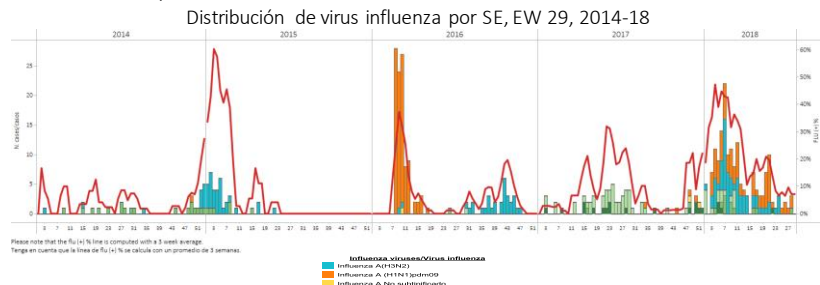
*To view more epi data, view [here](#). / Para ver mas datos epi, vea [aquí](#).

Jamaica

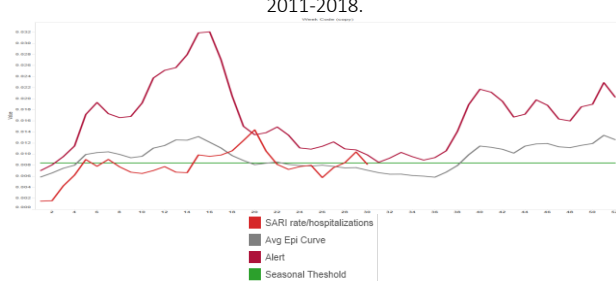
- During EW 29, SARI activity remained below the seasonal threshold, similar to the previous seasons 2011-2017 for the same period (Graph 2). The number of ARI cases decreased slightly at the alert threshold, as compared to the 2011-2017 seasons for the same period. During EW 29, decreased influenza activity was reported; with influenza A(H1N1)pdm09 circulation predominating (Graph 1). / Durante la SE 29, la actividad de IRAG permaneció por debajo del umbral estacional, similar a lo observado en las temporadas previas 2011-2017 para el mismo período (Gráfico 2). El número de casos de IRA se ubicó ligeramente por debajo del umbral de alerta, en comparación a las temporadas 2011-2017 para el

mismo período. Durante la SE 29, se reportó mayor actividad de influenza; con circulación de influenza A(H1N1)pdm09 (Gráfico 1).

Graph 1. Jamaica: Influenza virus distribution by EW, EW 29, 2014-18

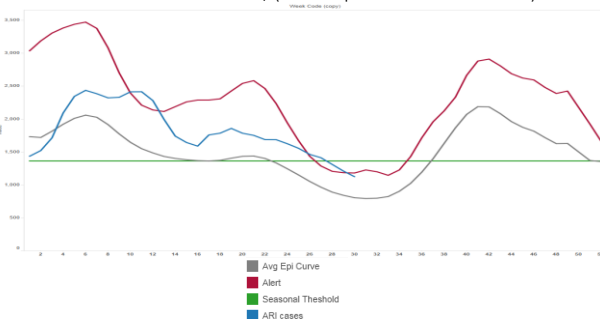


Graph 2. Jamaica: % SARI hospitalizations among total hospitalizations, EW 29, 2011-2018. / % hospitalizaciones de casos IRAG entre total de hospitalizaciones, SE 29, 2011-2018.



Graph 3. Jamaica: Number of ARI cases (compared to 2011-2018)

Número de casos de IRA, (en comparación a 2011-2018)



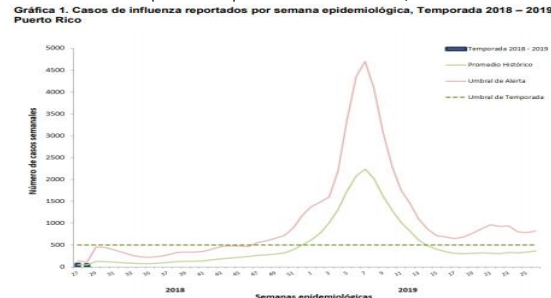
*To view more epi data, view [here](#). / Para ver mas datos epi, vea [aquí](#).

Puerto Rico

- During EW 29, influenza cases were detected but were below the seasonal threshold, with co-circulation of influenza A(H3N2), A(H1N1)pdm09 and B (Graph 1) in recent weeks. ILI activity remained below the average epidemic curve (Graph 2). / Durante la SE 29, se han detectado casos de influenza aunque por debajo del umbral estacional, con co-circulación de influenza A(H3N2), A(H1N1)pdm09 y B en semanas recientes (Gráfico 1). La actividad del ETI se mantuvo por debajo de la curva epidémica media (Gráfico 2).

Graph 1. Puerto Rico: Influenza-positive cases by EW 29, 2017-18

Casos positivos para influenza SE 29, 2017-18



Graph 2. Puerto Rico: ILI epidemic rates by EW 29, 2018 / Tasas de ETI por SE, SE 29, 2018.

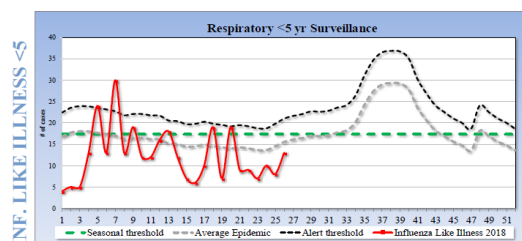


Saint Lucia

- During EW 28, the number of cases with respiratory symptoms among children under 5 years of age was below the seasonal levels (Graph 1). During EW 27, SARI activity was similar as compared to the 2016-2017 seasons (Graph 2), with 47.1% of all SARI admissions among the 1 to 4 years of age population. / Durante la SE 28, el número de casos con síntomas respiratorios en niños menores de 5 años de edad se reportaron bajo los niveles estacionales (Gráfico 1). Durante la SE 27, la actividad de IRAG es similar en comparación con las temporadas 2016 y 2017 (Gráfico 2), con el 47,1% del total de admisiones por IRAG entre el grupo de 1 y 4 años de edad.

Graph 1. Saint Lucia: ILI cases distribution by EW among the < 5 years of age, EW 28, 2014-18

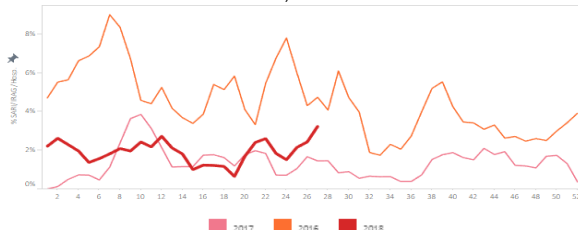
Distribución de ETI por SE entre los <5 años de edad, SE 28, 2014-18



*To view more epi data, view [here](#). / Para ver mas datos epi, vea [aquí](#).

Graph 2. Saint Lucia: Percent of SARI cases per total hospitalizations by year, 2016-2018, EW 27. /

Porcentaje de casos de IRAG por todos hospitalizaciones por año, 2016-2018, SE 27.

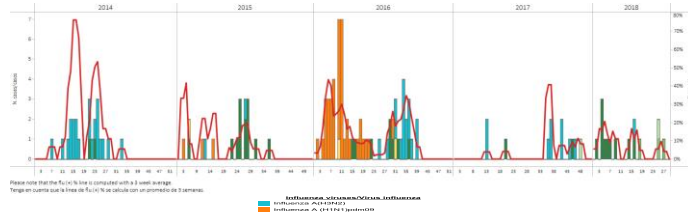


Suriname

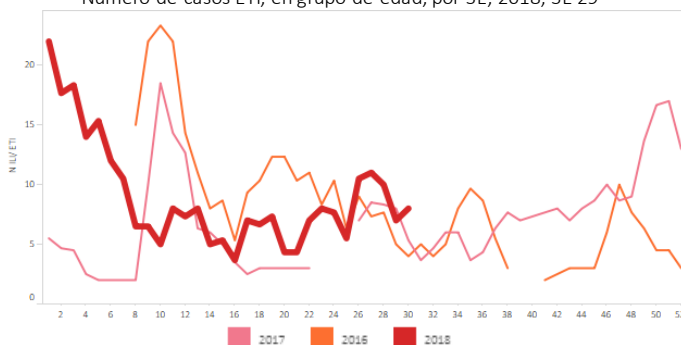
- During EW 29, ILI case counts slightly increased and SARI-related hospitalizations decreased from previous weeks; and both were higher, as compared to the 2017 season, for the same period (Graph 3, 4). Decreased SARI cases were associated with co-circulation of influenza B, RSV, parainfluenza and adenovirus; and predominated among the <5 years-of-age population. During EW 29, no influenza activity was reported, with influenza B predominating (Graph 1); RSV remained at low levels (Graph 2). / Durante la SE 29, el número de casos de ETI aumentó ligeramente y las hospitalizaciones relacionadas con IRAG disminuyeron en relación a semanas previas; y ambas fueron mayores en comparación a la temporada 2017 para el mismo período (Gráfico 3, 4). El descenso de casos de IRAG se asoció a co-circulación de influenza B, VSR, parainfluenza y adenovirus; y predominó entre la población de <5 años de edad. Durante la SE 29, no se reportó actividad de influenza, (Gráfico 1); VSR permaneció a niveles bajos (Gráfico 2).

Graph 1. Suriname: Influenza virus distribution by EW 29, 2014-18

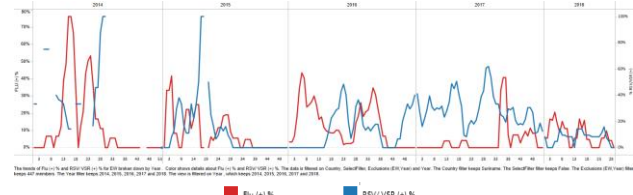
Distribución de virus influenza por SE 29, 2014-18

**Graph 3.** Suriname: Number of ILI cases, by age, by EW, 2018.EW 29

Número de casos ETI, en grupo de edad, por SE, 2018, SE 29

**Graph 2.** Suriname: Influenza and RSV distribution, EW 29, 2015-18

Distribución de virus influenza y VSR, SE 29, 2015-18

**Graph 4.** Suriname: % SARI hospitalizations per total hospitalizations, by EW, 2018.EW 29.

Caso % de hospitalizaciones IRAG entre todas las hospitalizaciones, por SE, 2018.SE 29.

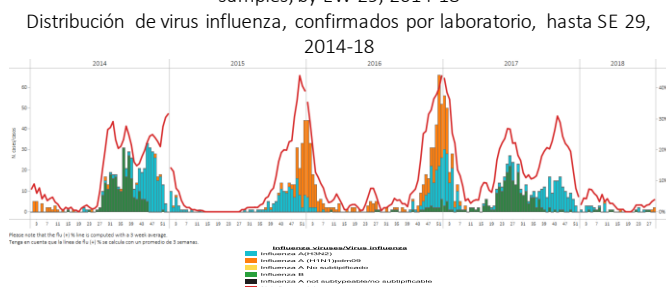


*To view more epi data, view [here](#). / Para ver mas datos epi, vea [aquí](#).

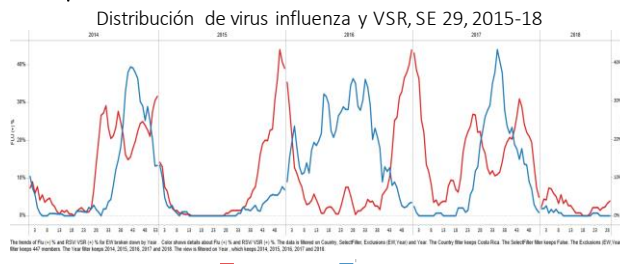
Costa Rica

- During EW 29, influenza activity remained stable, as compared to the previous week with influenza A(H3N2) and B predominating (Graph 1). Influenza activity during EW 29 was similar to the 2017 season for the same period and RSV activity remained at low levels (Graph 1, 2). / Durante la SE 29, la actividad de influenza se ha mantenido estable, en comparación con las semanas previas con predominio de influenza A(H3N2) y B (Gráfico 1). La actividad de influenza durante la SE 29 fue similar a la temporada 2017 para el mismo período y la actividad de VSR permaneció a niveles bajos (Gráficos 1, 2).

Graph 1. Costa Rica: Influenza virus distribution, Laboratory confirmed samples, by EW 29, 2014-18



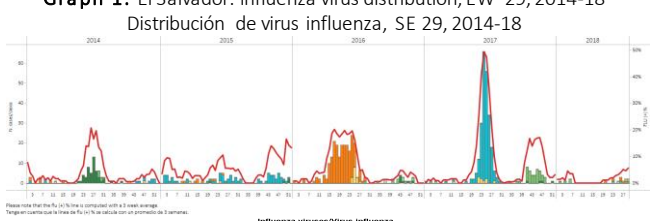
Graph 2. Costa Rica: Influenza and RSV distribution, EW 29 2015-18



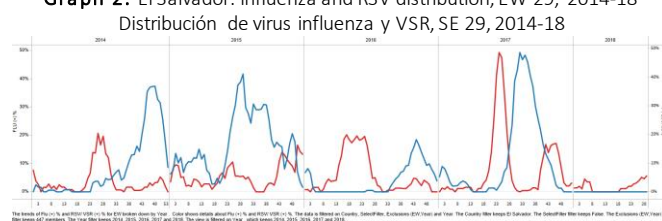
El Salvador

- During EW 29, influenza activity slightly increased but remained below the alert threshold with influenza B and A(H3N2) predominating (Graphs 1, 3). RSV positivity remained lower than the levels observed in the previous season (Graph 2). During EW 29, SARI case counts slightly increased but were lower to levels observed in the 2017 seasons (Graph 4, 5). / Durante la SE 29, la actividad de influenza aumentó ligeramente aunque permaneció por debajo del umbral de alerta con predominio de influenza B y A(H3N2) (Gráficos 1, 3). La positividad de VSR permaneció menor a los niveles observados en la temporada anterior (Gráfico 2). Durante la SE 29, los casos IRAG aumentaron ligeramente aunque fueron menores a los niveles registrados en las temporadas 2017 (Gráfico 4).

Graph 1. El Salvador: Influenza virus distribution, EW 29, 2014-18

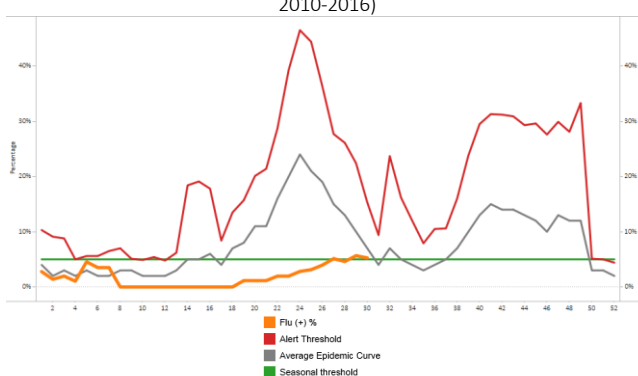


Graph 2. El Salvador: Influenza and RSV distribution, EW 29, 2014-18



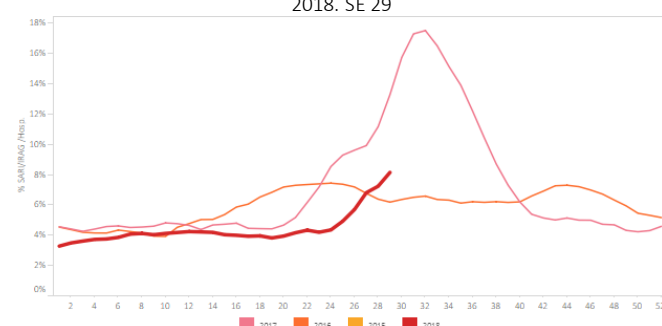
Graph 3. El Salvador: Percent positivity for influenza, EW 29, 2018 (in comparison to 2010-2016)

Porcentaje de positividad de influenza, SE 29, 2018 (en comparación a 2010-2016)



Graph 4. El Salvador: Percent of SARI cases out of total hospitalizations, by EW, 2016- 2018. EW 29.

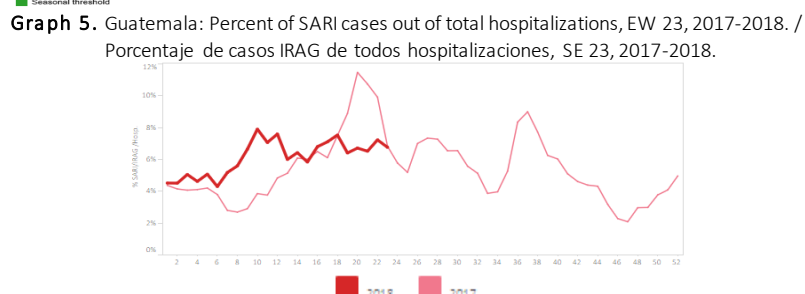
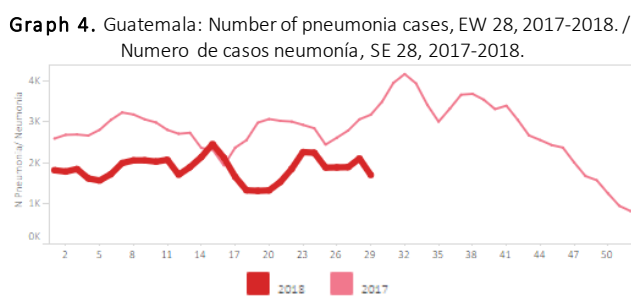
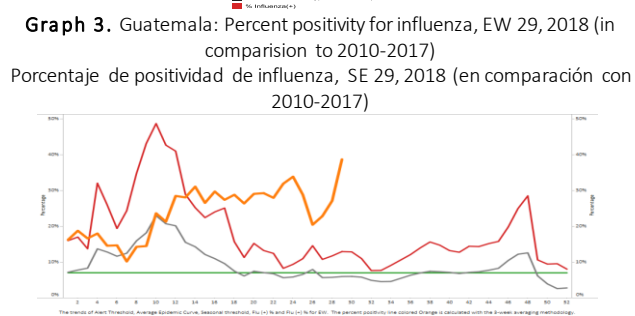
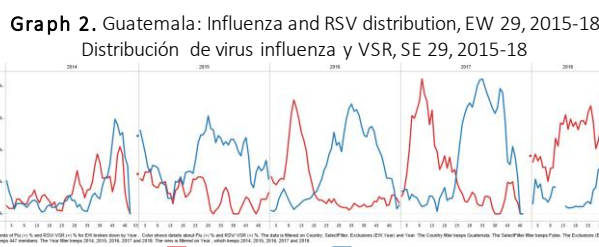
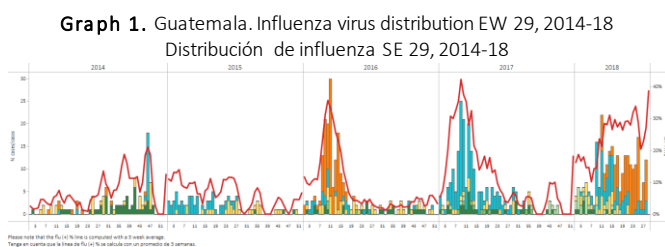
Porcentaje de casos por IRAG de todos hospitalizaciones, por SE, 2016-2018. SE 29



*To view more epi data, view [here](#). / Para ver mas datos epi, vea [aquí](#).

Guatemala

- During EW 29, a slight increase was reported in influenza detections from the previous week, with influenza A(H1N1)pdm09 predominating (Graph 1). Influenza positivity increased above the alert threshold, as compared to the 2010-2017 period (Graph 3). The influenza proportion was higher than the previously reported levels from 2016-2017 season for the same period, while RSV activity increased in the last weeks (Graph 2). During EW 28, pneumonia activity continued low, compared to 2017 levels, and decreased slightly compared to previous weeks (Graph 4). Up to EW 23, the percent of SARI cases was similar to the 2017 season for the same period, with the highest proportion among <5 years old population (Graph 5). / Durante la SE 29, se reportó un ligero aumento en las detecciones de influenza respecto a la semana previa con predominio de influenza A(H1N1)pdm09 (Gráfico 1). La positividad de influenza se ubicó por encima del umbral de alerta respecto al período 2010-2017 (Gráfico 3). La proporción de influenza fue mayor a los niveles reportados de la temporada 2016-2017, para el mismo período, y la actividad de VSR se ha incrementado en las últimas semanas (Gráfico 2). Durante la SE 28, la actividad de neumonía se mantuvo baja respecto al 2017, disminuyendo ligeramente respecto a las semanas previas (Gráfico 4). Hasta la SE 23, el porcentaje de casos IRAG fue similar a la temporada 2017 para el mismo período, con la mayor proporción en la población < de 5 años (Gráficos 5)



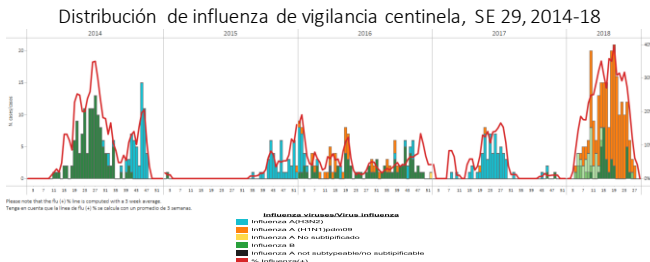
*To view more epi data, view [here](#). / Para ver mas datos epi, vea [aquí](#).

Honduras

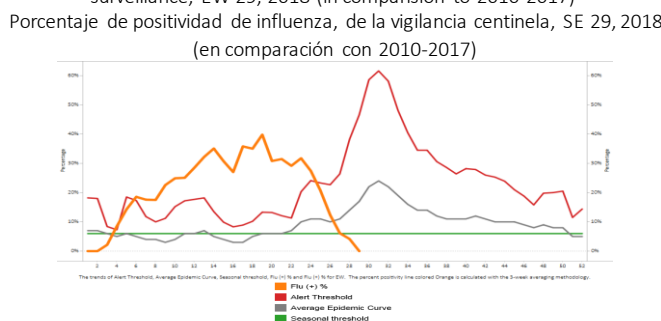
- During EW 29, at the sentinel sites, influenza activity decreased below the seasonal threshold (Graph 3) with influenza A(H1N1)pdm09 predominating (Graph 1); no RSV detections were reported (Graph 2). The influenza positive cases were reported mainly from Cortes and Francisco Morazán departments and most cases were among children under 5 years of age. A total of 22 influenza A(H1N1)pdm09-associated SARI deaths were reported from EW 1 to EW 29, compared to 2 influenza-related SARI deaths in the previous season for the same period, 77% of them (17) with comorbidities. The percent of SARI cases out of total hospitalizations decreased compared to previous weeks, lower than the levels of the previous season (Graph 4). / Durante la SE 29 de 2018, en los sitios centinela, la actividad de influenza disminuyó bajo el umbral estacional (Gráfico 1) con predominio de influenza A(H1N1)pdm09 (Gráfico 1); no se reportaron detecciones de VSR (Gráfico 2). Los casos positivos de influenza fueron reportados principalmente en los departamentos de Cortés y Francisco Morazán, y la mayoría de los casos fueron en niños menores de 5 años de edad. Un total de 22 casos de IRAG

fallecidos asociados a influenza A(H1N1)pdm09 fueron reportados desde SE1 a SE 29, comparado a 2 casos de IRAG fallecidos en la temporada previa para el mismo período, 77% de ellos (17) con comorbilidades. El porcentaje de IRAG frente al total de los ingresos hospitalarios disminuyó respecto a las semanas previas, y fue menor que los niveles observados en la temporada previa (Gráfico 4).

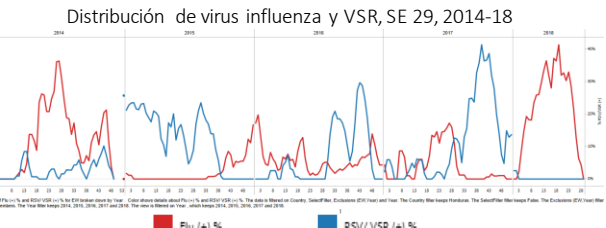
Graph 1. Honduras. Influenza virus distribution from sentinel surveillance, EW 29, 2014-18



Graph 3. Honduras : Percent positivity for influenza,from sentinel surveillance, EW 29, 2018 (in comparision to 2010-2017)

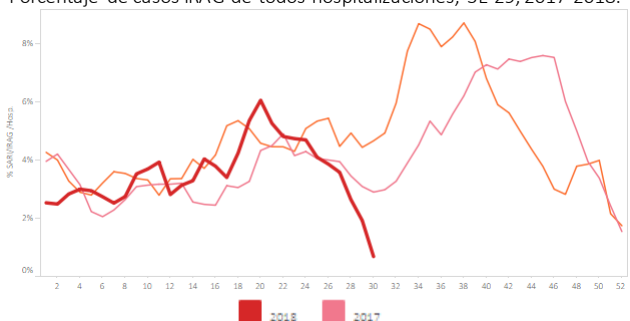


Graph 2. Honduras: Influenza and RSV distribution form sentinel surveillance, EW 29, 2014-18



Graph 4. Honduras: Percent of SARI cases out of total hospitalizations, EW 29, 2017-2018. /

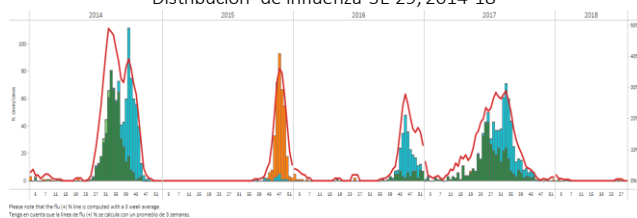
Porcentaje de casos IRAG de todos hospitalizaciones, SE 29, 2017-2018.



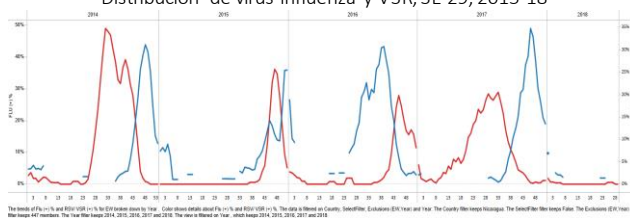
Nicaragua

- During the 2018 season, influenza activity continued at low levels with no influenza cases reported in SE 29 (Graph 1), and RSV levels remained low in previous weeks (Graph 2). / Durante la temporada 2018, la actividad de influenza continuó a niveles bajos, no se reportaron casos de influenza en SE 29 (Gráfico 1); y las detecciones de VSR se mantuvieron bajas en las últimas semanas (Gráfico 2).

Graph 1. Nicaragua. Influenza virus distribution EW 29, 2014-18



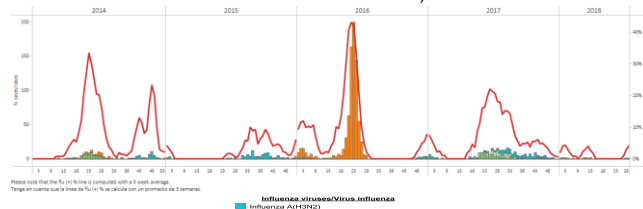
Graph 2. Nicaragua: Influenza and RSV distribution, EW 29, 2015-18



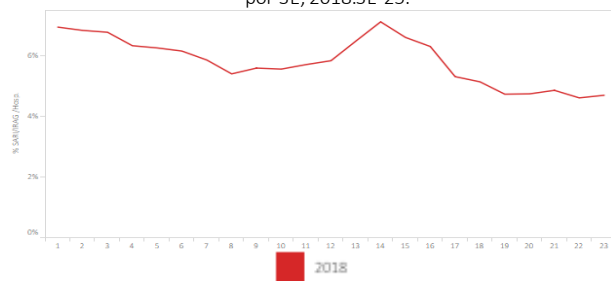
Panama

- During the 2018 season, at national level, influenza activity continued at low levels. In EW 28, one influenza A(H3N2) detection was reported (Graph 1), and RSV detections increased compared to previous weeks (Graph 2). During EW 26, SARI hospitalizations and ILI consultations remained slightly similar to the previous weeks (Graph 4, 5). / Durante la temporada 2018, a nivel nacional, la actividad de influenza continuó en niveles bajos. En la SE 28 se ha reportado una detección de influenza A(H3N2) (Gráfico 1) y las detecciones de VSR han incrementado respecto a las semanas previas (Gráfico 2). Durante la SE 26, las hospitalizaciones por IRAG y las consultas por ETI permanecieron similares a las semanas previas (Gráficos 4, 5).

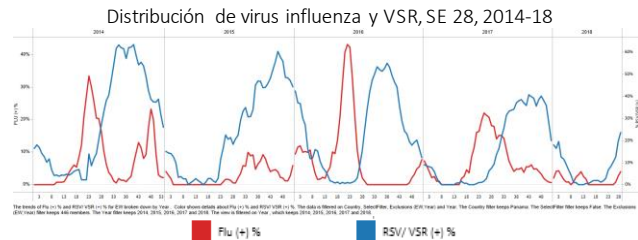
Graph 1. Panama. Influenza virus distribution EW 28, 2014-18
Distribución de influenza SE 28, 2014-18



Graph 4. Panama: % SARI hospitalizations per total hospitalizations, by EW, 2018.EW 25.
Casos % de hospitalizaciones IRAG entre todas las hospitalizaciones, por SE, 2018.SE 25.



Graph 2. Panama: Influenza and RSV distribution, EW 28, 2014-18
Distribución de virus influenza y VSR, SE 28, 2014-18



Graph 4. Panama: % ILI consultations per total consultations, by EW, 2018.EW 25.
Casos % de consultas ETI entre todas las consultaciones, por SE, 2018.SE 25.

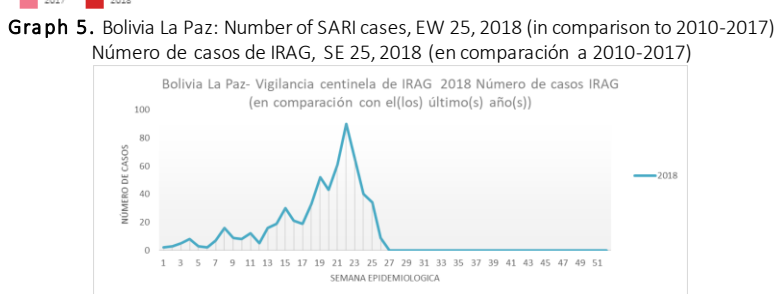
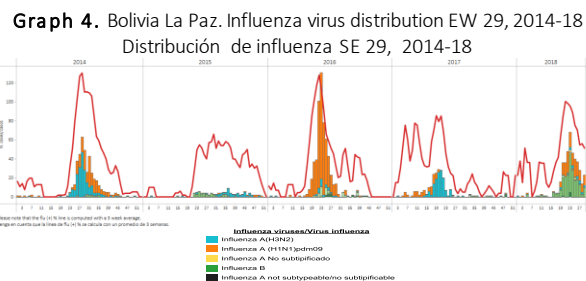
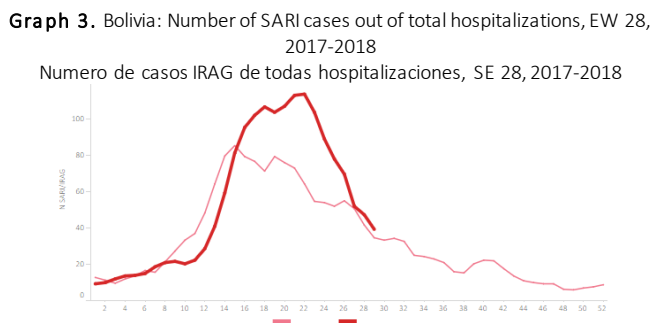
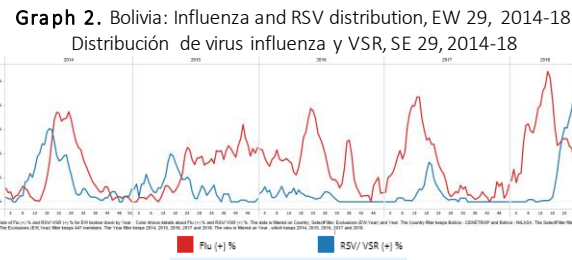
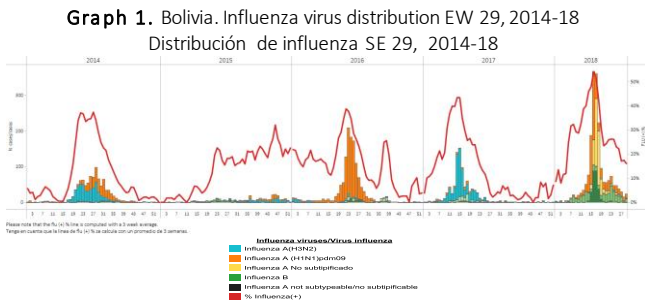


*To view more epi data, view [here](#). / Para ver mas datos epi, vea [aquí](#).

South America / América del Sur - Andean countries / Países andinos:

Bolivia

- During EW 29, at the national level, SARI cases decreased from the previous weeks and were slightly higher than in the 2017 season for the same period (Graph 3). Influenza activity slightly decreased from the previous week with influenza B and A(H1N1)pdm09 co-circulating; while RSV remained elevated (Graph 1, 2). In La Paz, in EW 29, the number of SARI cases decreased (Graph 5) from previous weeks, with influenza B and A (Graphs 4, 5). / En la SE 29, a nivel nacional, los casos de IRAG siguieron en descenso respecto a semanas previas y fueron ligeramente mayores que en la temporada 2017 para el mismo período (Grafico 3). La actividad de influenza disminuyeron respecto a lo observado la semana previa con co-circulación de influenza B y A(H1N1)pdm09 (Gráfico 1) y la actividad del VRS permaneció elevada (Gráfico 2). En La Paz, en la SE 29, el recuento de casos de IRAG disminuyó (Gráfico 5) en relación a semanas previas, con co-circulación de influenza B y A (Gráficos 4,5).



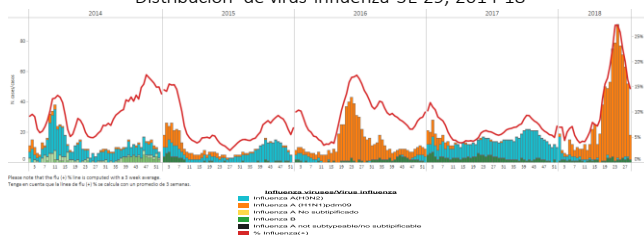
*To view more epi data, view [here](#). / Para ver más datos epi, vea [aquí](#).

Colombia

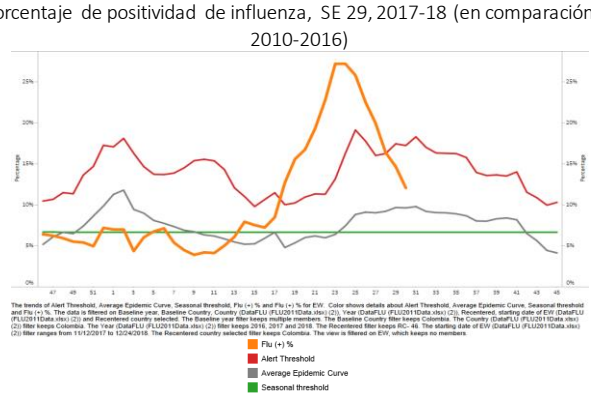
- During EW 28, at national level, SARI case counts were lower as compared to the previous seasons for the same period, and was below the seasonal threshold and alert threshold (Graph 4). In EW 29, influenza activity decreased as compared to the previous weeks with influenza A(H1N1)pdm09 predominating (Graphs 1, 3); while RSV percent positivity decreased from previous weeks (Graph 2). During EW 28, pneumonia activity continued to decrease below the alert threshold and ARI activity increased slightly above the alert threshold, in comparison to seasons in 2012-2017 (Graph 5, 6). / En la SE 28, a nivel nacional, el número de casos de IRAG fue menor en comparación a las temporadas previas para el mismo período, situándose por debajo del umbral estacional y de alerta (Grafico 4). Durante la SE 29, la actividad de influenza disminuyó en comparación a las semanas anteriores y con predominio de influenza A(H1N1)pdm09 (Gráficos 1, 3); en tanto la positividad de VSR disminuyó en relación a las semanas previas (Gráfico 2). Durante la SE 28, la actividad

de neumonía continuó en descenso por debajo del umbral de alerta y la actividad de IRA aumentó levemente por encima del umbral de alerta, en comparación con las temporadas 2012-2017 (Gráficos 5, 6).

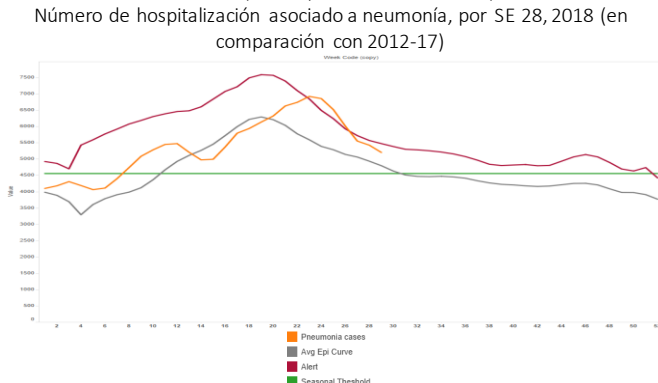
Graph 1. Colombia. Influenza virus distribution EW 29, 2014-18
Distribución de virus influenza SE 29, 2014-18



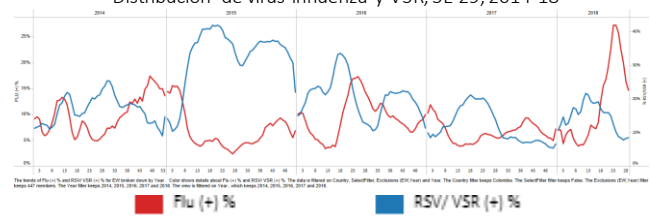
Graph 3. Colombia: Percent positivity for influenza, EW 29, 2017-18 (in comparison to 2010-2016)
Porcentaje de positividad de influenza, SE 29, 2017-18 (en comparación a 2010-2016)



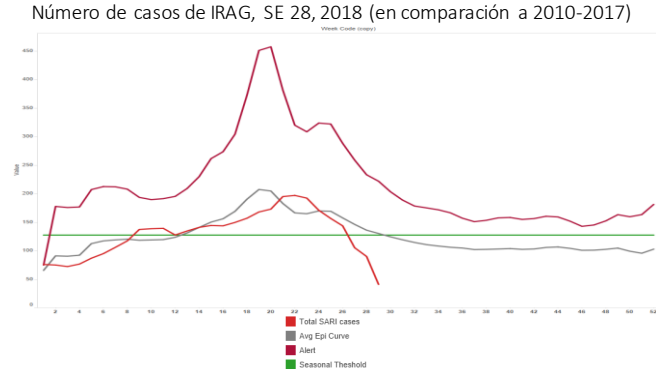
Graph 5. Colombia: Number of pneumonia-related hospitalizations, by EW 28, 2018 (in comparison with 2012-17)
Número de hospitalización asociado a neumonía, por SE 28, 2018 (en comparación con 2012-17)



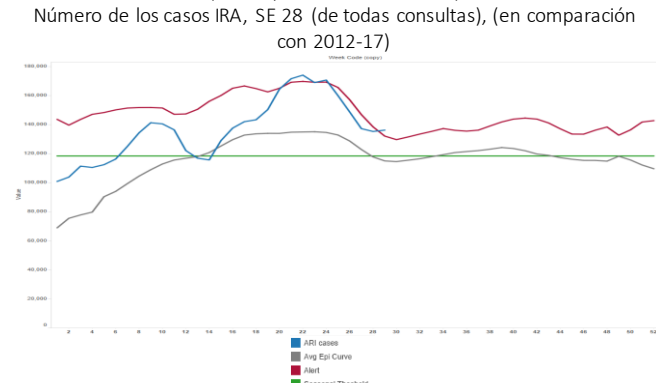
Graph 2. Colombia: Influenza and RSV distribution, EW 29, 2014-18
Distribución de virus influenza y VSR, SE 29, 2014-18



Graph 4. Colombia: Number of SARI cases, EW 28, 2018 (in comparison to 2010-2017)
Número de casos de IRAG, SE 28, 2018 (en comparación a 2010-2017)



Graph 6. Colombia: Number of ARI cases, EW 28 (from all consultations), (in comparison with 2012-17)
Número de los casos IRA, SE 28 (de todas consultas), (en comparación con 2012-17)

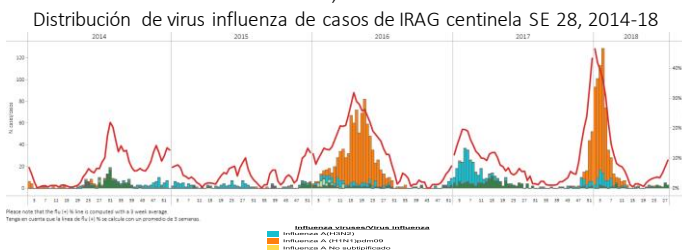


*To view more epi data, view [here](#). / Para ver mas datos epi, vea [aquí](#).

Ecuador

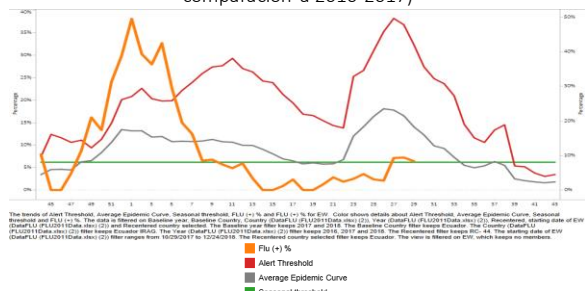
- During EW 29, at national level, the proportion of SARI cases among all hospitalizations decreased from previous weeks and remained similar to levels observed during the 2016 -2017 seasons for the same period (Graph 4). During EW 28, influenza activity was slightly higher as compared to the previous weeks, and influenza percent positivity and RSV percent positivity were lower than levels reported during the prior season for the same period (Graph 1, 2). / Durante la SE 29, a nivel nacional, la proporción de casos de IRAG del total de hospitalizaciones disminuyó en relación a semanas previas y se mantuvo similar a los niveles observados durante 2016-2017 para el mismo período (Gráfico 4). En la SE 28, la actividad de influenza fue ligeramente mayor en comparación con semanas previas, y el porcentaje de positividad para influenza y para VSR fueron menores que los registrados en la temporada previa para el mismo período (Gráficos 1, 2).

Graph 1. Ecuador IRAG: Influenza virus distribution from SARI sentinel cases by EW 28, 2014-18



Graph 3. Ecuador: Percent positivity for all influenza cases, EW 28, 2018 (in comparision to 2010-2017)

Porcentaje de positividad de todos casos de influenza, SE 28, 2018 (en comparación a 2010-2017)



Graph 2. Ecuador IRAG: Influenza and RSV distribution from SARI sentinel cases, EW 28, 2014-18



Graph 4. Ecuador: Percent of SARI cases per total hospitalizations, as of EW 29, 2018 (compared to 2016-2017)

Porcentaje de casos de IRAG por total de hospitalizaciones hasta la SE 29, 2018 (en comparacion a 2016-2017)

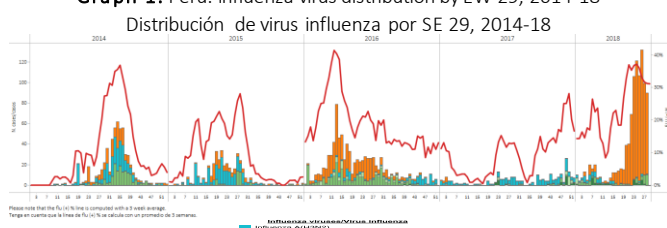


*To view more epi data, view [here](#). / Para ver mas datos epi, vea [aquí](#).

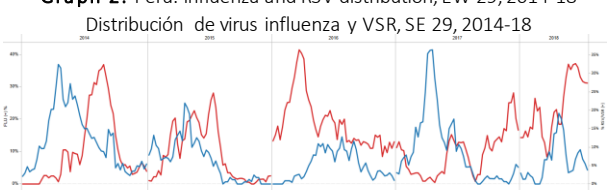
Peru

- During EW 28, at national level, SARI case counts among all hospitalizations decreased compared to previous weeks, but remained higher than the 2015-2017 seasons for the same period (Graph 4). In EW 29, influenza activity decreased slightly at the alert threshold, with influenza A(H1N1)pdm09 predominating (Graph 1,3). RSV positivity slightly decreased, as compared to the previous weeks and was lower than levels observed in 2017 for the same period (Graph 2). During SE 28, at the national level, ARI case counts, under 5 years of age, were similar to the levels observed in 2016-2017 for the same period (Graph 5), however the pneumonia case counts in infants under 5 years of age were higher than the counts reported in 2016-2017 for the same period (Graph 6). During EW 27, 13 departments reported pneumonia cumulative cases higher than during the 2017 season for the same period: Amazonas, Apurímac, Ayacucho, Cusco, Huancavelica, Huanuco, Junin, La Libertad, Lambayeque, Madre de Dios, Pasco, Tacna, and Ucayali. / En la SE 28, a nivel nacional, el número de casos de IRAG entre el total de hospitalizaciones descendió respecto a las semanas previas aunque se mantiene superior a lo observado en las temporadas 2015-2017 para el mismo período (Gráfico 4). Durante la SE 29, la actividad de influenza se ubicó ligeramente en el nivel de alerta, con predominio de influenza A(H1N1)pdm09 (Gráficos 1,3). La positividad de VSR disminuyó ligeramente, en comparación con las semanas anteriores y fue menor a los niveles observados en 2017 para el mismo período (Gráfico 2). Durante la SE 28, a nivel nacional, el recuento de casos de IRA en menores de 5 años fue similar a los niveles observados en 2016-2017 para el mismo período (Gráfico 5), sin embargo, el recuento de casos de neumonía en niños menores de 5 años, aunque en descenso, fue superior a los niveles reportados en 2016-2017 para el mismo período (Gráfico 6). Durante la SE 27, el recuento de casos de neumonía en niños menores de 5 años fue superior a los niveles reportados en 2016-2017 para el mismo período (Gráfico 6); 13 departamentos reportaron casos acumulados de neumonía mayores que durante 2017 para el mismo período: Amazonas, Apurímac, Ayacucho, Cusco, Huancavelica, Huanuco, Junin, La Libertad, Lambayeque, Madre de Dios, Pasco, Tacna, and Ucayali.

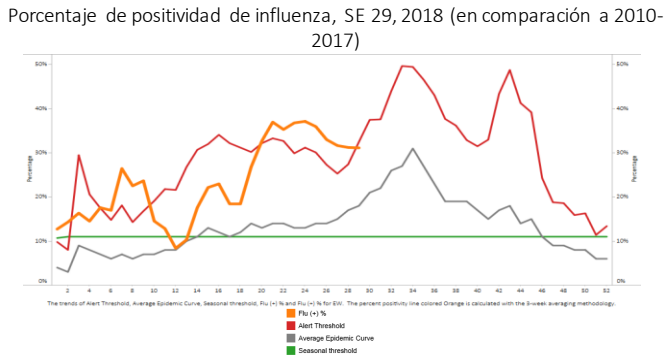
Graph 1. Peru: Influenza virus distribution by EW 29, 2014-18



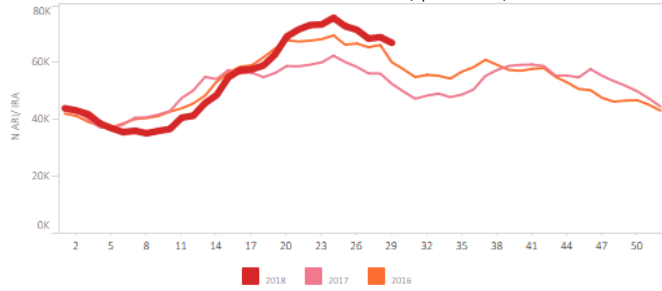
Graph 2. Peru: Influenza and RSV distribution, EW 29, 2014-18



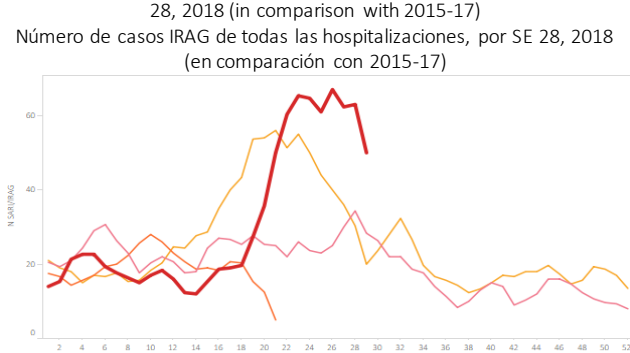
Graph 3. Perú: Percent positivity for influenza, EW 29, 2018 (in comparison to 2010-2017)



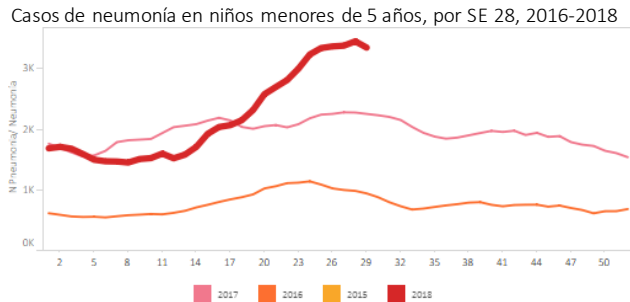
Graph 5. Peru. ARI cases in children under 5 years, by EW 28, 2016-2018
Casos de IRA en niños menores de 5 años, por SE 28, 2016-2018.



Graph 4. Peru: Number of SARI cases out of all hospitalizations, by EW 28, 2018 (in comparison with 2015-17)



Graph 6. Peru: Pneumonia cases in children under 5 years, by EW 28, 2016-2018
Casos de neumonía en niños menores de 5 años, por SE 28, 2016-2018

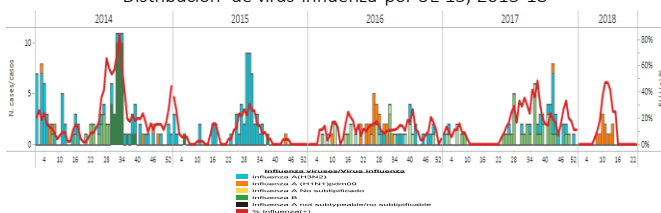


*To view more epi data, view [here](#). / Para ver mas datos epi, vea [aquí](#).

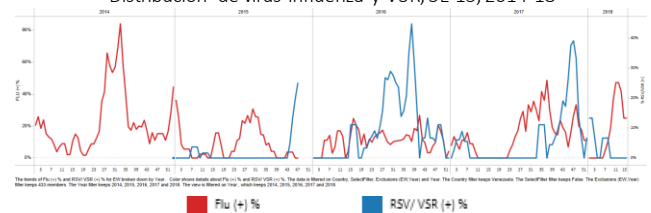
Venezuela

- During EW 15, influenza activity remained at low levels with influenza A(H1N1)pdm09 predominating (Graph 1, 2). Up to EW 15, no RSV detections were reported. / En la SE 15 la actividad de influenza se mantuvo baja con predominio de influenza A(H1N1)pdm09 (Gráficos 1, 2). A la SE 15, no se reportaron detecciones por VSR (Gráfico 2).

Graph 1. Venezuela: Influenza virus distribution by EW 15, 2015-18
Distribución de virus influenza por SE 15, 2015-18



Graph 2. Venezuela: Influenza and RSV distribution, EW 15, 2014-18
Distribución de virus influenza y VSR, SE 15, 2014-18

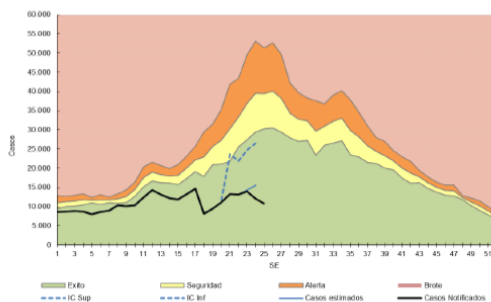


Argentina

- During EW 25, at national level, the number of SARI cases was higher than previous weeks and below the alert threshold (Graph 2). ILI activity was low for the period (Graph 1). During EW 25, influenza activity increased as compared with the previous weeks with overall few samples tested, and influenza B predominating (Graphs 3, 5). RSV positivity increased and was similar to the levels reported during the previous season for the same period (Graph 4). / En la SE 25, a nivel nacional los casos de IRAG fueron mayores a las semanas previas y estuvieron por debajo el umbral de alerta (Gráfico 2). La actividad de ETI fue baja para el período (Gráfico 1). Durante la SE 25, la actividad de influenza disminuyó en comparación con semanas previas, con recuento bajo de muestras estudiadas, y predominio de influenza B (Gráficos 3, 5). El porcentaje de positividad para VSR aumentó y fue similar a lo registrado en la temporada previa para el mismo período (Gráficos 4).

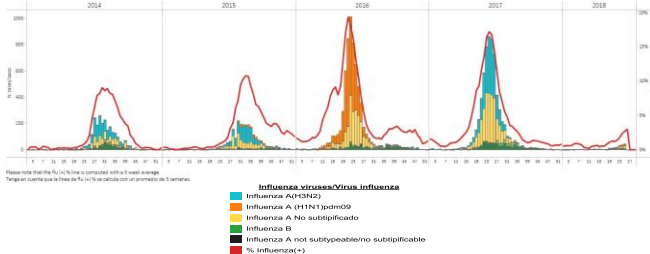
Graph 1. Argentina. ILI cases. Endemic channel, EW 25, 2018 (compared to 2013-2017) / Casos de ETI. Corredor endémico, SE 25, 2018 (en comparación a 2013-2017)

Gráfico 1 - Argentina: Corredor endémico semanal de ETI 2018. Curva de casos y estimaciones hasta la SE25. Total país. Históricos 5 años: 2013 a 2017.



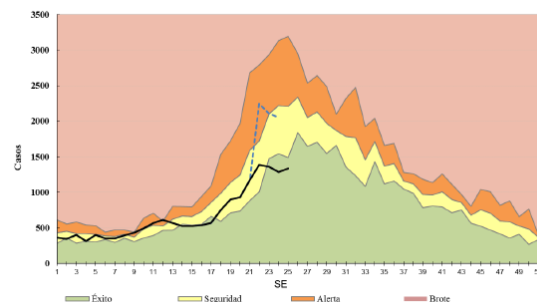
Fuente: Elaboración propia del Área de Vigilancia de la Salud de la Dirección de Epidemiología en base a información proveniente del Sistema Nacional de Vigilancia de la Salud (SNVS) C2.

Graph 3. Argentina. Influenza virus distribution by EW 25, 2014-18
Distribución de virus influenza por SE 25, 2014-18



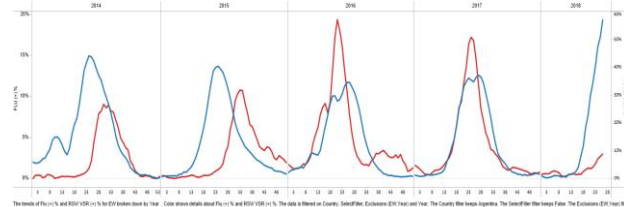
Graph 2. Argentina.SARI cases. Endemic channel, EW 25, 2018 (compared to 2013-2017) / Casos de IRAG. Corredor endémico, SE 25, 2018 (en comparación a 2013-2017)

Gráfico 4. Argentina: Corredor endémico semanal de IRAG. Curva de 2018 hasta SE25. Históricos 5 años: 2013 a 2017.

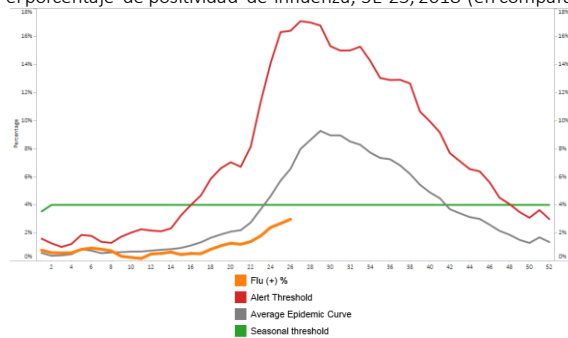


Fuente: Elaboración propia del Área de Vigilancia de la Salud de la Dirección de Epidemiología en base a información proveniente del Sistema Nacional de Vigilancia de la Salud (SNVS) C2.

Graph 4. Argentina: Influenza and RSV distribution, EW 25, 2014-18
Distribución de virus influenza y VSR, SE 25, 2014-18



Graph 5. Argentina: Baseline for the percent positivity for influenza, EW 25, 2018 (in comparison to 2010-2017)
Línea basal para el porcentaje de positividad de influenza, SE 25, 2018 (en comparación a 2010-2017)

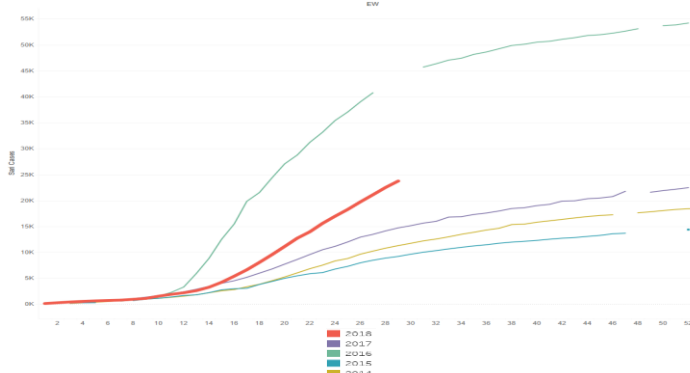


Brazil

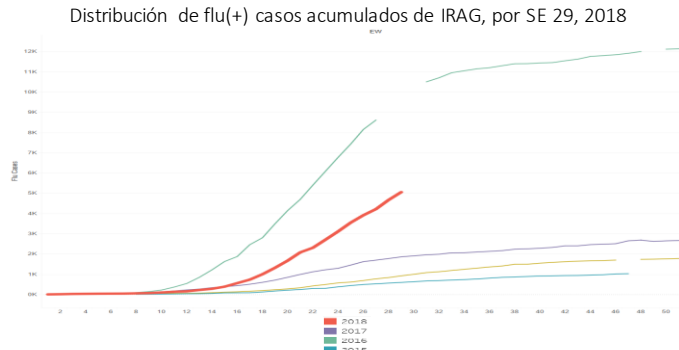
- In Brazil, during EW 29, cumulative SARI hospitalizations and deaths increased and were lower than in 2016 but higher than the other seasons for the same period (Graphs 1,2). Since the beginning of 2018, among the SARI cases with viral diagnostic results, most have been positive for non-influenza respiratory viruses. The cumulative number of SARI-influenza cases and SARI-influenza deaths were higher than the counts reported in 2017 and less than in 2016 (Graph 3, 4). During EW 28, a slight decrease in the detection of influenza positive cases was reported by the three NICs, with

influenza A (H1N1)pdm09 and (H3N2) co-circulating, and some influenza B detections reported; RSV detections have been decreasing in the last month (Graph 5-9). During EW 29, 22 states reported higher cumulative influenza-associated SARI/ILI case counts than the historic average 2014-2017 (>1 standard deviation above): Alagoas, Amapá, Bahia, Ceará, Distrito Federal, Espírito Santo, Goiás, Maranhao, Mato Grosso, Matto Grosso do Sul, Minas Gerais, Pará, Paraíba, Paraná, Piauí, Rio de Janeiro, Rio Grande do Norte, Rondonia, Santa Catarina, São Paulo, Sergipe and Tocantins. In EW 29, 20 states reported higher cumulative influenza-associated SARI/ILI deaths counts than the historic average 2014-2017 (>1 standard deviation above): Alagoas, Bahia, Ceará, Distrito Federal, Espírito Santo, Goiás, Maranhao, Mato Grosso, Matto Grosso do Sul, Minas Gerais, Pará, Paraná, Pernambuco, Piauí, Rio de Janeiro, Rio Grande do Norte, Rio Grande do Sul, São Paulo, Sergipe and Tocantins. / En Brasil, en la SE 29, las hospitalizaciones y los casos fallecidos por IRAG acumulados aumentaron y fueron menores que en 2016 pero superiores a las restantes temporadas para el mismo período (Gráficos 1, 2). Desde el inicio de 2018, de los casos de IRAG con resultado de diagnóstico viral, la mayoría ha sido positivo para virus respiratorios distintos de influenza. El número acumulado de casos de IRAG por influenza y de casos fallecidos asociados a influenza fueron superiores a los recuentos de 2017 y menores a los recuentos reportados en 2016 (Gráficos 3, 4). En la semana 28 se ha detectado una ligera disminución entre los casos positivos de influenza reportados por los tres NICs, con co-circulación de influenza A(H1N1)pdm09 y A(H3N2), junto con algunas detecciones de B; las detecciones de VSR han disminuido en las últimas semanas (Gráficos 5-9). Durante la SE 29, 22 estados reportaron elevados recuentos acumulados de IRAG/ETI asociados a influenza en comparación al promedio histórico 2014-2017 (>1 desviación estandar arriba): Alagoas, Amapá, Bahia, Ceará, Distrito Federal, Espírito Santo, Goiás, Maranhao, Mato Grosso, Matto Grosso do Sul, Minas Gerais, Pará, Paraná, Piauí, Rio de Janeiro, Rio Grande do Norte, Rondonia, Santa Catarina, São Paulo, Sergipe y Tocantins. En la SE 29, 20 estados reportaron elevados recuentos acumulados de fallecidos por IRAG/ETI asociados a influenza en comparación al promedio histórico 2014-2017 (>1 desviación estandar arriba): Alagoas, Bahia, Ceará, Distrito Federal, Espírito Santo, Goiás, Maranhao, Mato Grosso, Matto Grosso do Sul, Minas Gerais, Pará, Paraná, Pernambuco, Piauí, Rio de Janeiro, Rio Grande do Norte, Rio Grande do Sul, São Paulo, Sergipe y Tocantins.

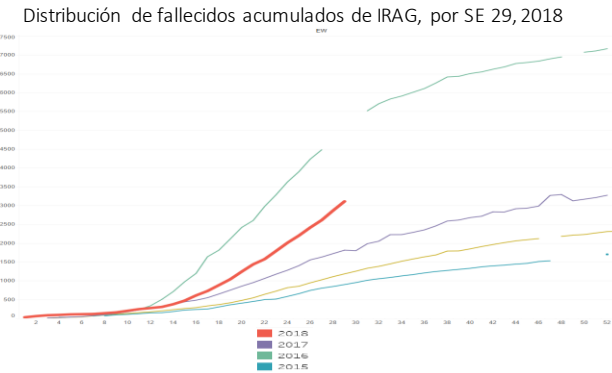
Graph 1. Brazil. Distribution of cumulative SARI-related cases, by EW 29, 2018
Distribución de casos acumulados de IRAG, por SE 29, 2018



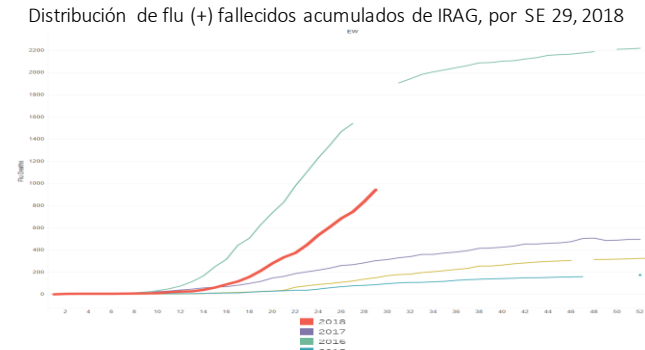
Graph 3. Brazil. Distribution of cumulative flu(+) SARI-related cases, by EW 29, 2018
Distribución de flu(+) casos acumulados de IRAG, por SE 29, 2018



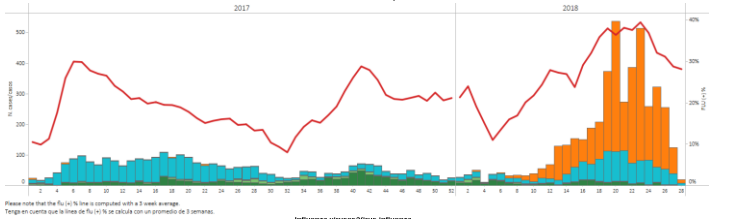
Graph 2. Brazil. Distribution of cumulative SARI-related deaths, by EW 29, 2018
Distribución de fallecidos acumulados de IRAG, por SE 29, 2018



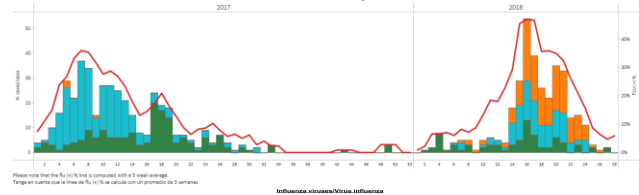
Graph 4. Brazil. Distribution of cumulative flu(+) SARI-related deaths, by EW 29, 2018
Distribución de flu (+) fallecidos acumulados de IRAG, por SE 29, 2018



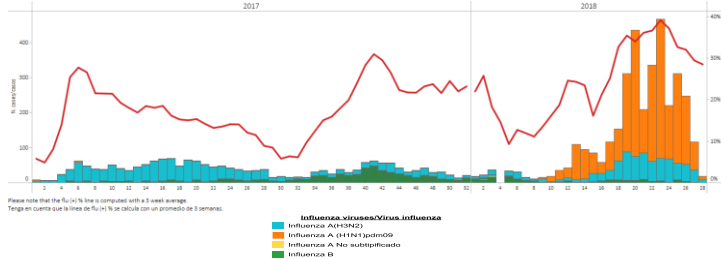
Graph 5. Brazil- All NICs. Influenza virus distribution by EW 28, 2017-2018
Distribución de virus influenza por SE 28, 2017-2018



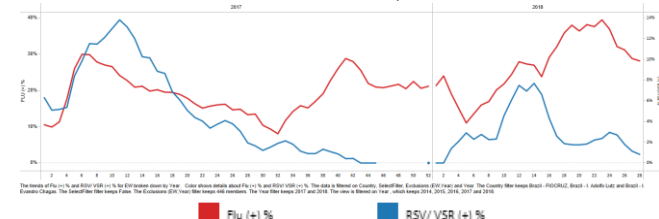
Graph 7. Brazil - NIC IEC. Influenza virus distribution by EW 28, 2017-2018
Distribución de virus influenza por SE 28, 2017-2018



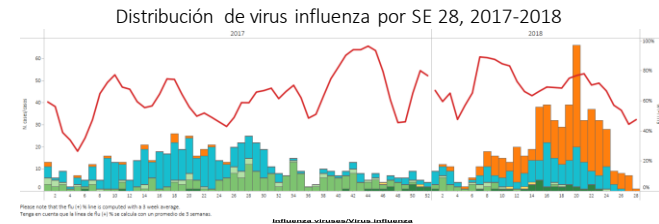
Graph 9. Brazil- NIC Adolfo Lutz. Influenza virus distribution by EW 28, 2017-2018
Distribución de virus influenza por SE 28, 2017-2018



Graph 6. Brazil – All NICs: Influenza and RSV distribution, EW 28, 2018
Distribución de virus influenza y VSR, SE 28, 2018



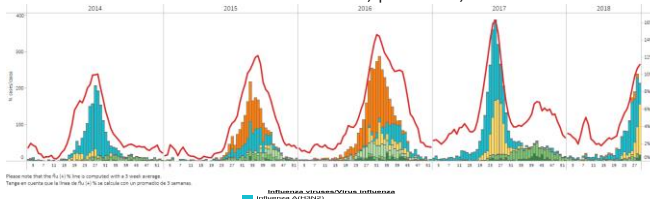
Graph 8. Brazil- NIC FIOCRUZ. Influenza virus distribution by EW 28, 2017-2018
Distribución de virus influenza por SE 28, 2017-2018



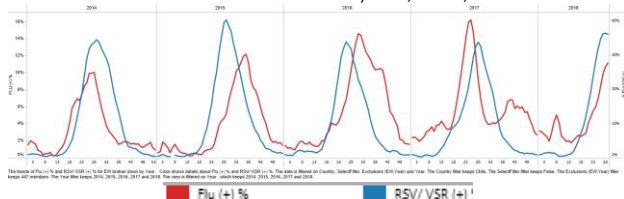
Chile

- During EW 29, at national level, the SARI cases remained elevated as compared to the previous weeks and were above the alert threshold levels observed during 2015-2017 for the same period (Graph 4); while ILI activity decreased below the average epidemic curve, and was lower to levels observed in previous seasons for the same period (Graph 5). In EW 29, influenza activity increased and remained similar to the historic average, with influenza A(H3N2) predominating (Graphs 1,3). RSV percent positivity increased and was higher than the levels reported in 2017 for the same period (Graph 2). / Durante la SE 29, a nivel nacional, los casos de IRAG permanecieron elevados en relación a las semanas previas y se ubicaron sobre los niveles del umbral de alerta observados durante 2015-2017 para el mismo período (Gráfico 4), mientras que la actividad de ETI disminuyó bajo la curva epidémica promedio, y fue menor a lo observado en las temporadas previas para este periodo (Gráfico 5). En la SE 29, la actividad de influenza aumentó y permaneció similar al promedio histórico, con predominio de influenza A(H3N2) (Gráficos 1, 3). El porcentaje de positividad de VSR también aumentó y fue superior a los niveles reportados en 2017 para el mismo período (Gráfico 2).

Graph 1. Chile: Influenza virus distribution by EW 29, 2014-18
Distribución de virus de influenza, por SE 29, 2014-18

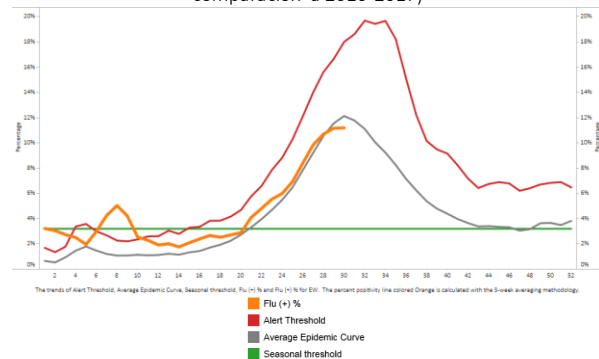


Graph 2. Chile: Influenza and RSV distribution, EW 29, 2014-18
Distribución de virus influenza y VSR, SE 29, 2014-18



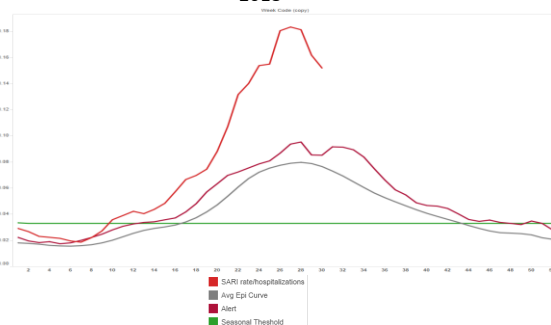
Graph 3. Chile: Baseline for the percent positivity for influenza, EW 29, 2018
(in comparision to 2010-2017)

Línea basal para el porcentaje de positividad de influenza, SE 29, 2018 (en comparación a 2010-2017)

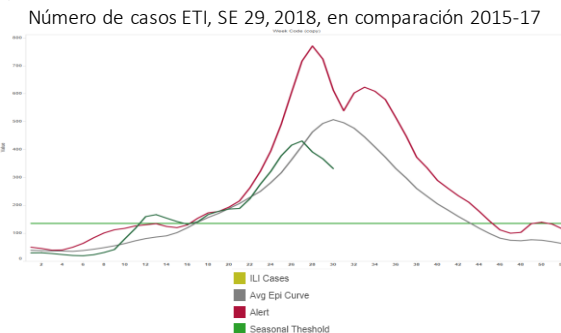


Graph 4. Chile. Percent of SARI cases from all hospitalizations,EW 29, 2015-2018,

Porcentaje de casos IRAG por las hospitalizaciones totales, SE 29, 2015-2018



Graph 5. Chile. Number of ILI cases, EW 29, 2018 in comparison 2015-17

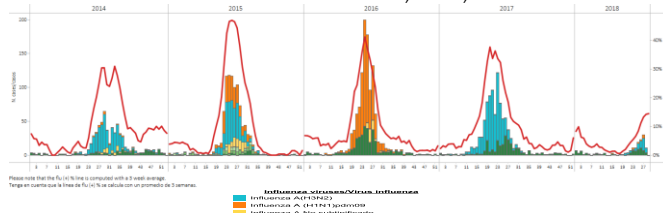


*To view more epi data, view [here](#). / Para ver mas datos epi, vea [aquí](#).

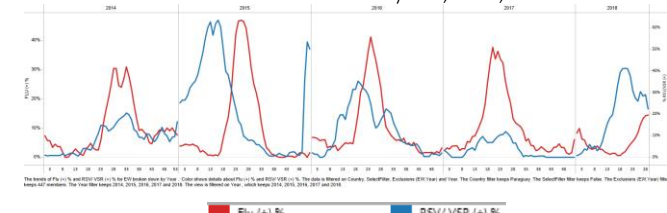
Paraguay

- During EW 28, at national level, the SARI cases remained elevated as compared to the previous weeks and were above the alert threshold (Graph 5); while the porcent of SARI deaths out of total deaths , although increasing remained below de epidemic threshold (Graph 6). ILI activity increased above the seasonal levels (Graph 4). In EW 29, influenza activity slightly increased from previous weeks with influenza A(H3N2) and B co-circulating (Graphs 1, 3); while RSV positivity remained elevated in recent weeks (Graph 2). / En la SE 28, a nivel nacional los casos de IRAG continuaron en ascenso, por encima del umbral epidémico (Gráfico 5) mientras que el porcentaje de muertes por IRAG sobre el total de defunciones, aunque en ascenso, se mantiene por debajo del umbral epidémico (Gráfico 6). La actividad de ETI permaneció por encima de la media observada los últimos 4 años (Gráfico 4). Durante la SE 29, la actividad de influenza aumentó ligeramente en relación a las semanas anteriores, con co-circulación de influenza A(H3N2) y B (Gráficos 1, 2), y el porcentaje de positividad para VSR se mantuvo elevado(Gráfico 2).

Graph 1. Paraguay: Influenza virus distribution EW 28, 2014-18
Distribución de virus de influenza, SE 28, 2014-18

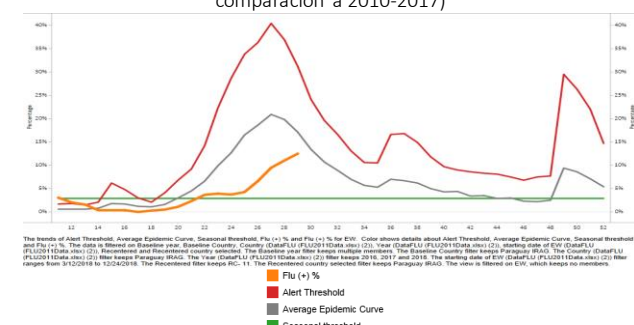


Graph 2. Paraguay: Influenza and RSV distribution, EW 29, 2014-18
Distribución de virus influenza y VSR, SE 29, 2014-18

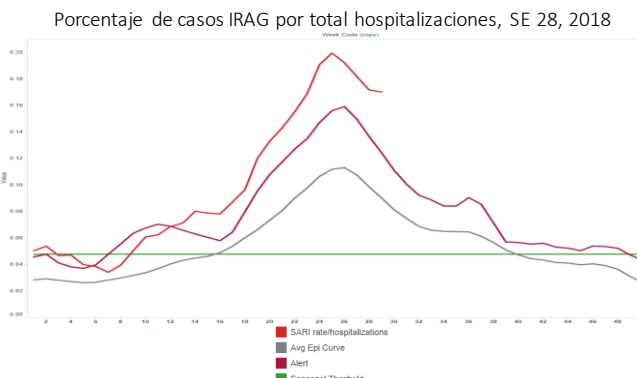


Graph 3. Paraguay SARI sentinel sites: Baseline for the percent positivity for influenza, EW 29, 2018 (in comparision to 2010-2017)

Línea basal para el porcentaje de positividad de influenza, SE 29, 2018 (en comparación a 2010-2017)



Graph 5. Paraguay: Percent of SARI cases per total hospitalizations, EW 28, 2018

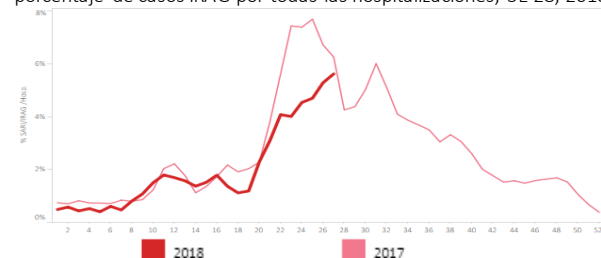


*To view more epi data, view [here](#). / Para ver mas datos epi, vea [aquí](#).

Uruguay

- In EW 29, low influenza activity was reported (Graphs 3, 4); with decreased RSV positivity (Graph 2). During EW 28, the percentage of SARI cases among all hospitalizations increased, and was similar to the levels previous season for the same period (Graph 1). / Durante la SE 29, se reportó baja actividad de influenza (Gráficos 3, 4); con positividad de VSR en descenso (Gráfico 2). Durante la SE 28, el porcentaje de casos de IRAG del total de hospitalizaciones aumentó, siendo similar a lo observado la temporada anterior para el mismo período (Gráfico 1).

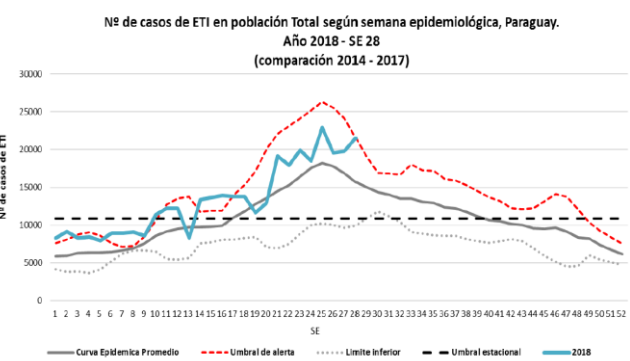
Graph 1. Uruguay: % SARI cases among all hospitalizations, EW 28, 2018; porcentaje de casos IRAG por todas las hospitalizaciones, SE 28, 2018



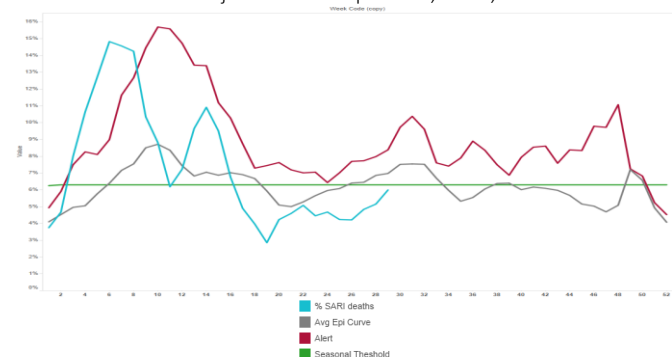
Graph 3. Uruguay: Influenza virus distribution by EW 29, 2018
Distribución de virus de influenza, por SE 29, 2018



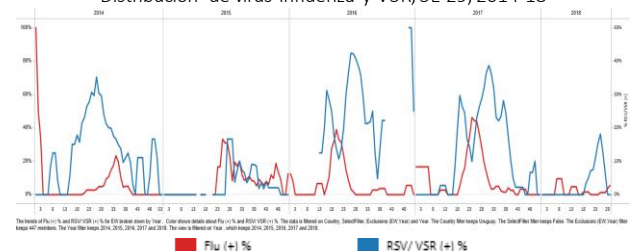
Graph 4. Paraguay: Proportion of ILI consultations, EW 28, 2018 (as compared to 2012-2017)



Graph 6. Paraguay: Percent of SARI deaths per total deaths, EW 28, 2018. Porcentaje de fallecidos por IRAG, SE 28, 2018

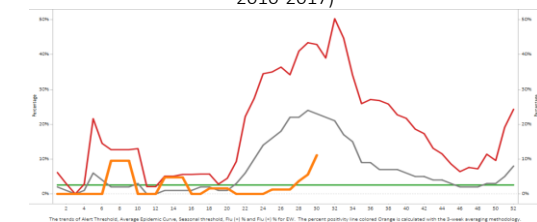


Graph 2. Uruguay: Influenza and RSV distribution, EW 29, 2014-18
Distribución de virus influenza y VSR, SE 29, 2014-18



Graph 4. Uruguay: Percent positivity for influenza, EW 29, 2018 (in comparision to 2010-2017)

Porcentaje de positividad de influenza, SE 29, 2018 (en comparación a 2010-2017)



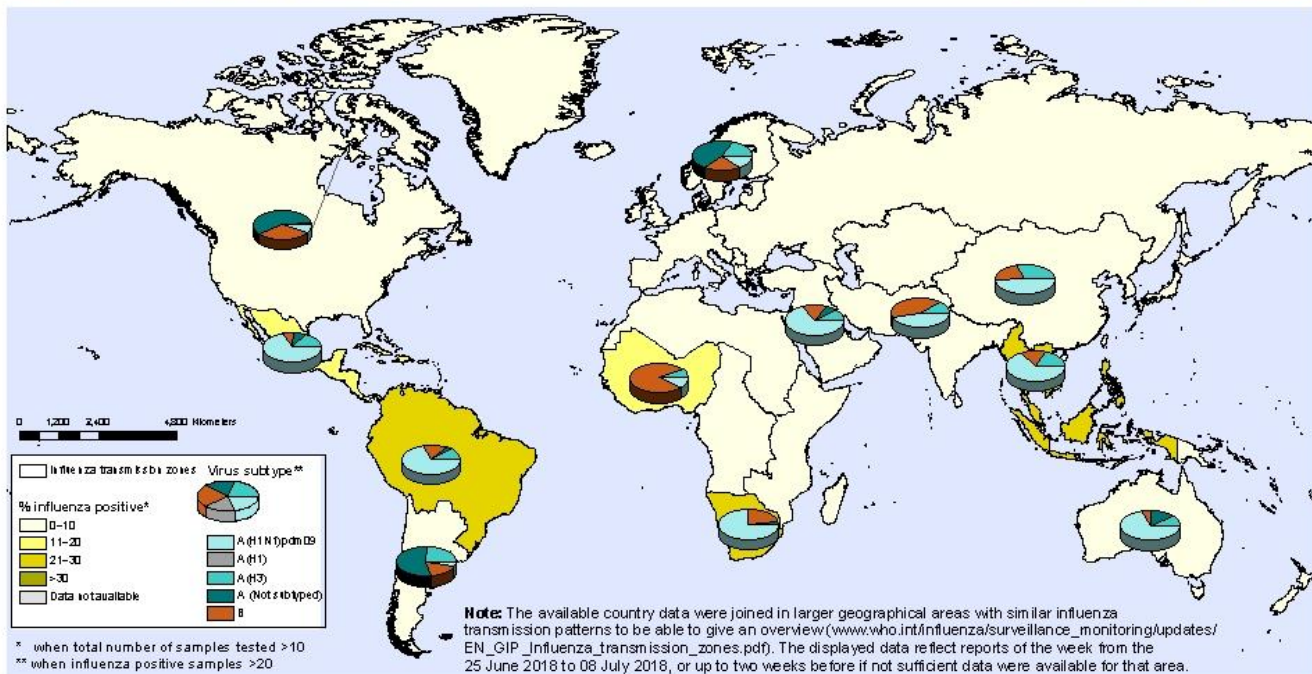
*To view more epi data, view [here](#). / Para ver mas datos epi, vea [aquí](#).

In the temperate zones of southern hemisphere, influenza activity continued to increase in South America and may have peaked in Southern Africa. However, influenza activity remained below seasonal threshold in Australia and New Zealand. In the temperate zone of the northern hemisphere influenza activity returned to inter-seasonal levels. Increased influenza activity was reported in some countries of tropical America. Worldwide, seasonal influenza subtype A viruses accounted for the majority of detections. / En las zonas templadas del hemisferio sur, la actividad de influenza continuó aumentando en América del Sur y puede haber alcanzado su punto máximo en el sur de África. Sin embargo, la actividad de influenza se mantuvo por debajo del umbral estacional en Australia y Nueva Zelanda. En la zona templada del hemisferio norte, la actividad de la influenza volvió a niveles interestacionales. Se informó una mayor actividad de influenza en algunos países de América tropical. En todo el mundo, los virus del subtipo A de la gripe estacional representaron la mayoría de las detecciones.

National Influenza Centres (NICs) and other national influenza laboratories from 77 countries, areas or territories reported data to FluNet for the time period from 25 June to 08 July 2018. The WHO GISRS laboratories tested more than 46938 specimens during that time period. 1387 were positive for influenza viruses, of which 1131 (81.5%) were typed as influenza A and 265 (18.5%) as influenza B. Of the sub-typed influenza A viruses, 689 (80.7%) were influenza A(H1N1)pdm09 and 165 (19.3%) were influenza A(H3N2). Of the characterized B viruses, 93 (75%) belonged to the B-Yamagata lineage and 31 (25%) to the B-Victoria lineage. / Los Centros Nacionales de Influenza (NICs) y otros laboratorios nacionales de influenza de 77 países, áreas o territorios, reportaron datos a FluNet en el período del 25 junio a 08 julio 2018. Los laboratorios de la OMS GISRS realizaron pruebas a más de 46938 muestras durante ese período. 1387 tuvieron resultado positivo para virus influenza, de los cuales 1131 (81,5%) fueron tipificados como influenza A y 689 (18,5%) como influenza B. De los virus influenza A subtipificados, 689 (80,7%) fueron influenza A(H1N1)pdm09 y 165 (19,3%) fueron influenza A(H3N2). De los virus influenza B caracterizados, 93 (75%) fueron del linaje B-Yamagata y 31 (25%) fueron del linaje B-Victoria.

Percentage of respiratory specimens that tested positive for influenza By influenza transmission zone

Status as of 20 July 2018



The boundaries and names shown and the designations used on this map do not imply the expression of any opinion whatsoever on the part of the World Health Organization concerning the legal status of any country, territory, city or area or of its authorities, or concerning the delimitation of its frontiers or boundaries. Dotted and dashed lines on maps represent approximate border lines for which there may not yet be full agreement.

Data Source: Global Influenza Surveillance and Response System (GISRS), FluNet (www.who.int/FluNet).



ACRONYMS

ARI	Acute Respiratory Infection
CARPHA	Caribbean Public Health Agency
CENETROP	Centro de Enfermedades Tropicales (Santa Cruz, Bolivia)
EW	Epidemiological Week
ILI	Influenza-like illness
INLASA	Instituto Nacional de Laboratorios de Salud (La Paz, Bolivia)
INS	Instituto Nacional de Salud
ORV	Other respiratory viruses
SARI	Severe acute respiratory infection
SEDES	Servicio Departamental de Salud (Bolivia)
ICU	Intensive Care Unit
RSV	Respiratory Syncytial Virus

ACRÓNIMOS

CARPHA	Agencia de Salud Pública del Caribe/Caribbean Public Health Agency
CENETROP	Centro de Enfermedades Tropicales (Santa Cruz, Bolivia)
ETI	Enfermedad Tipo influenza
INLASA	Instituto Nacional de Laboratorios de Salud (La Paz, Bolivia)
INS	Instituto Nacional de Salud
IRA	Infección Respiratoria Aguda
IRAG	Infección Respiratoria Aguda grave
OVR	Otros virus respiratorios
SE	Semana epidemiológica
SEDES	Servicio Departamental de Salud (Bolivia)
UCI	Unidad de Cuidados Intensivos
VSR	Virus Sincitial Respiratorio